

МИНИСТЕРСТВО ГЕОЛОГИИ СССР  
МИНИСТЕРСТВО ГЕОЛОГИИ РСФСР  
КРАСНОЯРСКОЕ ТЕРРИТОРИАЛЬНОЕ ГЕОЛОГИЧЕСКОЕ УПРАВЛЕНИЕ

Уч. № 0058

# ГЕОЛОГИЧЕСКАЯ КАРТА СССР

МАСШТАБА 1:200 000

СЕРИЯ ЕНИСЕЙСКАЯ

Лист Р-46-XXXIV

## Объяснительная записка

Составители: А.И.Вызы, М.Н.Вызы

Редактор К.Ш.Яркаев

Утверждено филиалом Научно-редакционного совета ВСЕГЕИ при  
СНИИГТИМС 7 февраля 1966г., протокол № 3

МОСКВА 1973

## ВВЕДЕНИЕ

Территория листа Р-46-XXXIV расположена на северо-востоке Енисейского кряжа. Административно она относится к Северо-Енисейскому району Красноярского края РСФСР. Её координаты:  $60^{\circ}00'$ - $60^{\circ}40'$  с.ш.,  $93^{\circ}00'$ - $94^{\circ}00'$  в.д.

Рельеф района среднегорный, густо расчленен речной сетью. Максимальные абсолютные высоты отдельных вершин достигают - 846м в юго-западной части района и минимальные - 178м в северной и северо-восточной частях. Превышения водоразделов над тальвегами речных долин составляют - 400м.

Реки района мелководны, для судоходства не пригодны, сравнительно крупными являются Иочимо, Корда, Оланчимо, Колома, Вангаш. Первые четыре реки принадлежат бассейну р.Подкаменной Тунгуски. Растительность и животный мир района типичны для таежных областей Сибири.

Климат района суровый, континентальный. Зима продолжительная и холодная с температурами до минус  $50^{\circ}$  в январе. Лето короткое и жаркое до плюс  $35^{\circ}$  в июле. Среднегодовая температура около минус  $3^{\circ}$ . Количество осадков в год составляет - 350-550мм.

Населенные пункты в районе редки. Наиболее крупные из них - пос.Северо-Енисейский (административный центр Северо-Енисейского района), прииски: Викторовский, Эльдорадо, Ново-Каламинский и пос. лесозаготовителей Индиги. Населенные пункты связаны между собой автомобильными дорогами, пригодными для передвижения автотранспорта круглый год; имеется редкая сеть грунтовых дорог для гужевого транспорта.

Основная промышленность района золотодобывающая. В районе имеются большие запасы крепежного и строительного леса.

Геологические исследования Енисейского кряжа, начавшиеся более ста лет назад, до недавнего времени были направлены в основном на поиски месторождений золота. Первооткрывателем золота в Северо-Енисейской тайге по преданию считается Жмаев, который в 1839г. на имя купца Тита Зотова сделал заявку на пять приисков, расположенных по рекам Вангану, Панимба, Морохо и Автолику.

В 1844г. появилась в печати работа Э.Гофмана (1844) о результатах его путешествия по Енисейскому кряжу, где он пришел к выводу, что россыпное золото образовалось не только за счет разрушения золотосодержащих кварцевых жил, но и за счет золота из вмещающих жил глинистых сланцев. Л.А. Ячевский (1894) в результате проведенных исследований пришел к выводу, что источниками для образования россыпей золота явились: 1) кварцевые жилы в гнейсах и слюдяных сланцах; 2) кварцевые жилы в метаморфических сланцах и 3) красноцветные конгломераты.

С 1898г. начаты систематические геологические исследования Енисейского золотоносного района Л.А. Ячевским (1900, 1903), Н.Л. Икицким (1903) и А.К. Мейстером (1910). Выводы первых двух исследователей по стратиграфии отложений района в настоящее время представляют чисто исторический интерес. Стратиграфические построения А.К. Мейстера (1910) служили в последующем долгое время в качестве основной рабочей схемы при исследованиях Енисейского кряжа. На основании изучения минералогического состава метаморфических горных пород и явлений kontaktового метаморфизма, А.К. Мейстер пришел к заключению, что для южной части "... Енисейского округа региональный метаморфизм есть kontaktовый...".

В 1915г. В.А. Обручев в работе "Геологический обзор золотоносных районов Сибири" обобщил все данные докривиционного изучения Енисейского кряжа.

Геологические исследования и поиски месторождений золота в районе продолжались так же и в последокривиционное время. За этот почти полувековой период на территории района работали геологи ряда производственных и научных организаций - Н.С. Пенин (1919, 1919г, 1920г), А.Н. Чураков (1926г), В.Л. Степанов (1930г), И.Г. Николаев (1925, 1929г), Н.Н. Горностаев (1936, 1934г), С.Г. Файзуллин (1937г), Т.М. Дембо (1948, 1938г, 1939г, 1941г), С.С. Лапин (1941г), Б.К. Рухин, К.А. Шахворостова, Б.А. Сиропятов (1944г), П.С. Бернштейн и Н.В. Петровская (1948г, 1950г), В.А. Миловская, С.С. Ильинок и Н.И. Баженов (1949г), Н.Ф. Гаврилов (1950г), В.А. Неволин и В.А. Богданович (1958г) и другие.

Многолетние работы на золото в пределах территории Енисейского кряжа и северо-западной части Восточных Саян обобщены Н.Г. Дубининым и И.В. Шаховой (1958г). Ими составлены карты геолого-поисковой изученности и разведенности на золото в масштабе 1:500 000 с объяснительной запиской.

С 1949г. на территории Енисейского кряжа и прилегающих районов Сибирской платформы начата плановая государственная геологическая съемка среднего масштаба Эвенкийской экспедицией ВАГР. В пределах границ района съемку производили геологи Р.И. Миллердорфа и Я.Д. Шенкман (1951г), опоискованность территории из-за малого объема наземных выработок оказалась недостаточная. В дальнейшем на этой площади проведены целенаправленные поисковые работы на бокситы И.Я. Гарасимовой и А.Н. Семченко (1954г), на золото и полиметаллы М.И. Лейбович (1956г), Ю.В. Ольшанским, М.З. Янцевым и Р.Г. Петровым и др. (1960г, 1962г, 1963г).

Одновременно со съемочными и поисковыми работами начались геофизические исследования в районе. В 1956г. проведена аэромагнитная съемка масштаба 1:1000 000 (Игнатьев, 1950г, Хоруимова, 1952г, Шулак, 1957г), в 1958г. масштаба 1:200 000 (Каспарова и др., 1958г), а в 1959-1960гг. в бассейне рек Иочки, Корды и Енамино проведены комплексные аэроисследования масштаба 1:25 000 (Мессор и др., 1960г, 1961г). В 1962-1963гг. вся площадь листа покрыта высокоточной аэрогеофизической съемкой масштаба 1:25 000 (Чепик и др., 1963г). Данные последней съемки дают хороший материал для интерпретации при геологическом картировании и поисках.

Настоящая геологическая карта и карта полезных ископаемых и объяснительная записка к ним составлены на основании фондовых материалов, геологосъемочных работ масштаба 1:200 000 (Вызу и др., 1963г, 1964г) и редакционно-вязочных маршрутов.

## СТРАТИГРАФИЯ

В геологическом строении территории листа Р-46-XXXIV участвуют протерозойские, кембрийские и четвертичные отложения. Протерозойские отложения расчленены на печенгинскую, кординскую, горбялскую, удерейскую, погорюскую, сосновскую свиту и тасеевскую серию. Среди кембрийских отложений выделяются нижний отдел и средний-верхний нерасчлененный (эвенкийская свита).

Отложения протерозойской группы, особенно ее нижние стратиграфические подразделения, в юго-западной части района в результате

регионального и контактowego метаморфизма претерпели значительные изменения. Фациальные изменения и метаморфизм пород, затуманывающие первичный состав отложений, затрудняют их картирование.

### ПРОТЕРОЗОЙСКАЯ ГРУППА

Пенчангинская свита распространена в бассейне р. Коломы. Свита представлена породами высокой степени метаморфизма - мраморами, кристаллическими сланцами, кварцитами, реже гнейсами. По литологическому составу она разделяется на две пачки - нижнюю, преимущественно карбонатную, и верхнюю - карбонатно-терригенную.

Нижняя пачка ( $Pt_{\mu n_1}$ ) представлена кристаллическими сланцами биотито-микроксенового состава (лироксен из группы авгита) с лепидограненоматобластовой структурой, с прослоями до 0,5м темно-серых массивных, иногда слоистых среднекристаллических мраморов. Кроме кальцита в мраморах в незначительных количествах присутствуют: кварц, мусковит, хлорит, биотит, графит, рудный минерал.

Средняя часть пачки сложена светло-серыми мраморами с прослойями (10-15см) темно-зеленых амфиболовых сланцев с граненоматобластовой структурой (амфибол-актинолит-тремолитового ряда).

Разрез пачки завершается темно-серыми мраморами, амфиболовыми и амфиболово-кварцевыми сланцами, переслаивающимися между собой. Мощность прослоев мраморов от 1см до 20-30м, амфиболовых сланцев не больше - 3-4м. Характерной особенностью амфиболово-кварцевых сланцев является наличие тонких нитевидных прожилков пирротина, ориентированных по сланцеватости. Благодаря этому, верхняя часть нижней пачки удовлетворительно прослеживается по данным высокоточной аэромагнитной съемки.

На площади развития пород нижней пачки наблюдались обломки карбонатизированных микрокварцитов с характерными пустотками сигарообразной формы (3x20см и меньше), которые ориентированы в одном направлении. Поверхности пустот изнутри покрыты друзами кристаллов амфиболя и кварца (до 1мм), а часть пустот выполнена кальцитом.

Мощность нижней пачки пенчангинской свиты около 400м. Мощность определена графическим способом по данным замеров элементов залегания в горных выработках.

Верхняя пачка ( $Pt_{\mu n_2}$ ) залегает согласно на нижней и представлена глинистыми и алеврито-глинистыми сланцами с изменчивым количеством алевритового материала, с линзами и прослойми известняков.

В результате регионального и контактового метаморфизма, интенсивность которых на разных участках не одинакова, наблюдаются разнообразные метаморфические производные вышеуказанных пород.

В районе руч. Кузнецового и севернее алеврито-глинистые породы превращены в биотито-кварцевые роговикоподобные сланцы темно-серого, почти черного, цвета со слабовыраженной слоистостью (заметно только на выветрелых поверхностях). Их состав: кварц, биотит, в меньшем количестве полевые шпаты, хлорит; акцессории - турмалин, апатит, циркон и пирит.

Южнее пос. Викторовского биотито-кварцевые сланцы по простиранию переходят в кварцево-мусковито-биотитовые сланцы, часто с идиоморфными кристаллами граната. В них присутствуют серцин и хлорит (по биотиту).

В бассейнах рек Мал. Гурахты и Енашимо, где накладываются процессы регионального и контактового метаморфизма, развиты гнейсы, мигматиты и кристаллические сланцы. Последние желтовато-серые с гнейсовидной узловатой текстурой, лепидогранобластовой структурой. Состав их силиманитово-биотито-кварцевый, с чешуйками мусковита, зернами альбита и кордиерита. Гнейсы, залегающие среди сланцев, характеризуются большим содержанием плагиоклаза и послойно ориентированного биотита. Мигматиты развиты в виде послойных линзовидных, очковых и птигматитовых форм инъекций кварцево-полевошпатового материала. Каких-либо закономерностей в распространении их не установлено.

Мощность верхней пачки по графическим построениям около 800м, всей вскрытой части пенчангинской свиты не менее 1200м.

Кординская свита ( $Pt_{3^{hd}}$ ) Отложения кординской свиты распространены в виде полосы шириной 2-3км от верховьев р. Корды через верховья её левых притоков в северо-западном направлении до бассейна р. Лев. Оленчимо. Широкое поле развития пород кординской свиты имеется еще в бассейне р. Коломы. Кординская свита залегает согласно на пенчангинской. Граница между ними проводится условно по кровле последнего пласта карбонатных пород, выше которого в разрезе преобладает алевритовый и песчаный материал. Существующее мнение некоторых исследователей (Горяннова, 1954; Кириченко, 1960; Кристин и др., 1964) о несогласном залегании основано на наличии конгломератов в низах разреза. Наши работами установлено, что конгломераты залегают в виде линз, не прослеживающиеся по простиранию, и являются внутриформационными образованиями низов свиты. Отсутствуют так же эродированные поверхности на пенчангинской свите.

Наиболее полно кординская свита обнажена по рекам Корде и Микчанго, где нижняя часть разреза сложена серыми и темно-серыми песчаниками, алевролитами и филлитами, с линзовидными прослойми конгломератов, гравелитов, известняков. Песчаники состоят из окатанных и полуокатанных зерен кварца размером - 0,2-2,0мм, реже микрокварцитов, неравномерно распределенных обломков микроклина и плагиоклаза. Цементом служит серицито-хлоритовый агрегат с примесью алевритового материала. Часто наблюдаются песчаники с базальным кумптокристаллическим известковистым цементом.

Алевросланцы имеют серицито-хлорито-биотито-кварцевый состав и микролепидогранобластовую структуру. Среди алевросланцев наблюдаются маломощные (несколько сантиметров) прослои кварцево-хлорито-биотитовых филлитов с микрогранолепидобластовой структурой. В филлитах часто обнаруживается примесь карбонатного материала.

Гравелиты по внешнему виду напоминают изверженную горную породу. Обломочный материал гравелитов состоит из микроклина, плагиоклаза, кварца, микрокварцитов, известняков, филлитов и цементируются тонкозернистым кварцем, кальцитом и серицито-хлоритовым материалом. Среди гравелитов наблюдаются прослои конгломератов мощностью около 1м. Переход от конгломератов к гравелитам постепенный. Плохо окатанные гальки конгломератов размером до 2-3см состоят из кварца, микрокварцитов, реже известняков, филлитов и полевых шпатов. Цемент раскристаллизован и состоит из тонкозернистого терригенно-карбонатного материала (кальцит, кварц, редкие зерна плагиоклазов, чешуйки мусковита и биотита).

Известняки, иногда доломитизированные, серые и темно-серые тонкокристаллические с примесью алевритового и песчаного материала до 40%.

Мощность вышеописанных пород около 150м.

1. Выше по разрезу залегают песчаники с четырьмя прослойми гравелитов мощностью до 4м. Песчаники тонко- и мелкозернистые с включениями более крупных зерен (до 3-4мм) кварца и полевых шпатов, обуславливающих псевдопорфировую структуру пород ..... 100 м

2. Алевросланцы темно-серые серицито-биотито-кварцевые. Породы, как правило, отчетливо слоистые, слоистость обусловлена наличием тонких прослоев (3-5мм) алевритового материала светло-серого цвета, часто с вкрапленностью кристаллов пирита. Характерным для этой пачки является высокое содержание биотита ..... 400 "

3. Переслаивание темно-серых алевросланцев, алевролитов, светло-серых кварцитовидных песчаников и кварцитов .....	180 м
4. Алевролиты тонкослоистые с прослойми (3-4м) серицито-кварцево-биотитовых филлитов .....	140 "
5. Алевролиты серые и переслаивающиеся с тонко- и реже грубослоистыми филлитами. В верхней части пачки в породах наблюдается примесь карбонатного материала ...	280 "

К северу от описанного разреза в верхней половине свиты, и особенно в её кровле, наблюдается некоторое увеличение карбонатного материала. Например, в бассейне р. Оленчимо мощность пластов известняков достигает 30-40м. Для кординской свиты вообще характерны довольно резкие фациальные изменения. На коротком расстоянии в широких пределах изменяются количественные взаимоотношения между алевро-псаммитовым и пелитовым разностями. В верхней части свиты на р. Корде преvalируют псаммиты, а через 10-12км, на р. Микчанго - филлиты.

В бассейне р. Коломи гравелиты имеют незначительное распространение и свита, в основном, состоит из кварцево-биотитовых сланцев с прослойми кварцитов, реже известковистых филлитов; широко развиты алевросланцы.

Мощность кординской свиты около 1200м.

Горбильская свита ( $Pt_{3g}b$ ) в плане образует две полосы в верховьях левых притоков р. Корды и правых притоков р. Енашимо. В бассейне р. Оленчимо свита слагает небольшую брахиантеклиналь.

Горбильская свита залегает согласно на кординской, граница между ними проводится по кровле последнего карбонатного горизонта, а в бассейне р. Корды по исчезновению в породах и появлению хлорита в филлитах. Свита сложена сравнительно однообразными, преимущественно зелеными и зеленовато-серыми кварцево-сериицито-хлоритовыми сланцами.

В основании свиты в разрезе по р. Корде лежат грубоплитчатые зеленовато-серые слоистые серицито-хлорито-кварцевые сланцы с микролепидогранобластовой структурой, с обильной мелкой вкрапленностью разрушенных кристаллов магнетита. Содержание магнетита по простирианию пород не устойчивое. В северо-западном направлении количество его довольно быстро уменьшается. Магнетитосодержащий горизонт четко отбивается аэромагнитной съемкой. Постепенное уменьшение магнетита хорошо видно на картах графиков - четкая положительная аномалия, отвечающая отложениям со значительным содержанием

ем магнетита, постепенно затухает в северо-западном направлении с исчезновением магнетита в отложениях.

Выше по разрезу наблюдается чередование груболитчатых и тонколитчатых кварцево-сертицово-хлоритовых сланцев с микрогранолепидобластовой структурой. К тонким (0,2-0,5мм) прослойкам приурочиваются пустотки выщелачивания кубической формы, выполненные гидроокислами железа. По-видимому, в свежей породе содержался магнетит, так как над этим горизонтом тоже наблюдается повышение магнитного поля. Вверх по разрезу в сланцах наблюдается уменьшение кварцевого материала. Местами совершенно отсутствует вкрапленность минералов железа. Породы приобретают более интенсивную зеленую окраску.

Горбилокская свита завершается зеленовато-серыми и зелеными слоистыми кварцево-глинисто-сертицово-хлоритовыми сланцами с послойным чередованием пород с бластоалевропелитовой и микролепидобластовой структурой.

Общая мощность отложений по р. Корде не менее 800м.

В северо-западном направлении намечается сначала уменьшение мощности до 500м (в верховьях р. Кондоко), затем вновь увеличение мощности до 800м (бассейн р. Оленчимо).

Литологический состав свиты в районе в общем монотонный. Фациальные изменения сводятся к разным количественным соотношениям порообразующих компонентов на разных участках. В районе приска Эльдорадо (Перевальный) в зоне контактового и повышенного динамотермального метаморфизма кварцево-хлоритовые сланцы горбилокской свиты превращены в кварцево-слюдяные сланцы с кристаллами граната. Они по внешнему облику похожи на породы верхней пачки панчэнгинской свиты бассейна р. Коломи; последние многими исследователями отнесены ошибочно к горбилокской свите. В результате метаморфизма происходит перераспределение магнетита - некоторые участки обогащаются им, а другие обедняются. На это же указывает неравномерное магнитное поле над отложениями горбилокской свиты.

Удрайская свита занимает обширную площадь в бассейне р. Ичимо и ее притоков. Она согласно залегает на горбилокской свите, но с резкой сменой в окраске пород.

Свита сложена серыми и темно-серыми филлитизированными глинистыми сланцами, зеленовато-серыми сертицово-хлоритовыми сланцами, черными филлитами, хлорито-сертицово-карбонатными сланцами, известняками, алевролитами. По литологическим особенностям свита делится на две подсвиты - нижнеудерейскую и верхнеудерейскую.

Нижнеудерейская подсвита ( $Pt_3^{ud}_1$ ) на площади листа характеризуется более пастрым петрографическим составом по сравнению с верхнеудерейской. Хорошие естественные обнажения по рекам Корде, Микчанго, Кото, Широкой, Немуни, Оллонокона позволяют довольно четко представить разрез подсвиты и ее фациальные изменения.

В верховье р. Корды в основании подсвиты залегают темно-серые, почти черные, тонколитчатые тонкослоистые филлитизированные глинистые сланцы с примесью "углистого" материала и тонкими (до 2мм) невыдержаными по простирации прослойками светло-серого и белого алевритового материала. Прослойки алевритового материала часто содержат вкрапленность мелких (до 2мм) кристаллов пирита, гнезда бурых гидроокислов железа. Редко наблюдаются крупные кристаллы пирита размером - 0,5-0,8см. Структура пород бластоалевропелитовая. Состоят они из микрочешуек хлорита - 15, серицита - 25, и пелито-алевритового материала - 60%. Мощность этой пачки - 200м.

Выше по разрезу наблюдается:

1. Сланцы зеленовато-серые плитчатые неяснослоистые сертицово-хлоритовые с редкой мелкой точечной вкрапленностью пирита и гидроокислов. В сланцах встречаются крупные (до 80см в диаметре) "каравай" алевритового состава.. 60 м

2. Сланцы филлитизированные неяснослоистые, черные, массивные. Среди них имеются прослои небольшой мощности (2-3м) темно-серых и черных алеврито-глинистых сланцев. Алевритовый материал образует маломощные линзы и стяжения. Структура пород бластопелитовая или бластоалевропелитовая ..... 20 "

3. Сланцы буровато-серые тонкослоистые, известково-глинистые, с крупными (до 0,5см) кубическими кристаллами пирита..... 0,35 "

4. Сланцы глинистые филлитизированные темно-серые и черные с тонкими прослойками (до 1мм) светло-серого алевритового материала, темно-серых и черных алеврито-глинистых сланцев с гнездами мелкокристаллического пирита .... 30 "

Общая мощность вышеуказанных отложений около 400м.

На этих, существенно темно-серых и черных сланцах залегают зеленовато-серые и зеленые породы суммарной мощностью порядка 500м. Представлены они плитчатыми и тонколитчатыми неяснослоистыми сертицово-хлоритовыми сланцами с пустотками выщелачивания, выполнеными гидроокислами железа. Структура пород микролепидобластовая, текстура сланцеватая. Состоят они из микрочешуек и микропластинок хлорита (до 55%), серицита (до 45%), незначительного количества

алевритового материала в виде коротких (до 0,6мм) линз и темно-бурых точечных образований окислов железа.

В сланцах встречаются невыдержаные по простирию прослои (5-10см) темно-серых, зеленовато-серых, окраинных алевролитов. Особенно часто развиты они в бассейне р. Кото и в верховьях левых притоков р. Корды. Здесь же в делювии встречены линзы-“каравай”, алевролитовых прослоев со структурами “конус-в-конус”.

Нижнеудерейская подсвита в бассейне среднего течения р. Иочимо завершается 100м пластом, состоящим из чередования серовато-зеленых, кремово-зеленых и буровато-серых тонкоплитчатых кварцево-карбонатно-хлоритовых сланцев с микролепидобластовой структурой, с прослойками (до 1м) буровато-серых тонкоплитчатых глинистых известняков. Характерной особенностью пласта является обильная вкрапленность кристаллов пирита, которые часто нацело замещены гидроокисями железа. Среди карбонатного материала в сланцах кроме кальцита наблюдаются хорошо выраженные ромбические кристаллы (до 0,2мм) доломита, неравномерно рассеянного в породе. В юго-восточном направлении вышеописанные сланцы замещаются серицито-хлорито-кварцевыми сланцами с примесью карбонатного материала. Характерная обильная вкрапленность пирита остается. В юго-западном направлении количество карбонатного материала уменьшается и нижнеудерейская подсвита завершается серовато-зелеными серицито-хлоритовыми сланцами. В бассейне р. Вангаша в сланцах появляются прослой магнетита.

Мощность нижнеудерейской подсвиты около 1000м.

Верхнеудерейская подсвита ( $Pt_3^{ud}d_2$ ) широко распространена в бассейнах рек Вангаша, Немуни и по правобережью р. Иочимо. Представлена она монотонной толщей темно-серых и черных филлитизированных глинистых и алеврито-глинистых сланцев. Состоят они из мелких параллельно и субпараллельно ориентированных чешуек и мелких листочек серицита и хлорита, мельчайших зерен кварца. В шлифах наблюдаются алевритовые зерна кварца и полевых шпатов, небольшое количество пелитового и “углистого” материала. Аксессорные минералы: турмалин и титаномагнетит, часто замещенный лейкоксеном. Структура пород бластоалевропелитовая, микролепидобластовая, текстура сланцеватая, иногда тонкослоистая.

Среди вышеописанных пород наблюдались прослои мощностью от 0,5 до 4м неравномернозернистых алевро-песчаников, в которых обломочный материал состоит из плохо окатанных зерен кварца, реже полевых шпатов (кислый плагиоклаз), турмалина и рудного минерала, связанных между собой хлорито-серицитовым цементом с примесью “углистого” материала. Структура алеврито-псаммитовая.

Кроме того, встречаются прослои сланцев, не содержащие “углистого” материала. Как правило, эти сланцы имеют более светлую зеленую или зеленовато-серую окраску. В верховьях р. Иочимо подсвита завершается слоем серовато-зеленых алевро-пелитовых пород.

Мощность подсвиты не меньше 400м.

Общая мощность удерейской свиты около 1400м.

Погорюйская свита ( $Pt_3^{nd}$ ) слагает большие площади в центральной и юго-восточной частях района. Коренные выходы её имеются на склонах долин рек Корды, Иочимо, Немуни, Вангаша, Когни, Мал. и Бол. Турмы и др. Погорюйская свита залегает согласно на удерейской, граница между ними проводится по смене глинистых пород более грубыми разностями. Свита представлена толщей тонкослоистых алеврито-глинистых, реже песчано-глинистых сланцев светло-серого, серого, темно-серого или зеленовато-серого цветов с прослойками светло-серых кварцитов и плитчатых серых и светло-серых алевролитов.

Отложения нижней половины разреза погорюйской свиты в верховьях р. Корды представлены темно-серыми и серыми плитчатыми полосчатыми алеврито-глинистыми сланцами с маломощными (0,1-0,2м) прослойками черных тонкоплитчатых глинистых сланцев, серых и светло-серых плитчатых алевролитов. Алевролиты и алеврито-глинистые сланцы часто косослоистые. Почти повсеместно в алевролитах и алевролитовых прослоях алеврито-глинистых сланцев наблюдается вкрапленность кристаллов пирита, замещенных лимонитом. Кристаллы пирита кубической формы размером от 1-2мм до 1см. Встречаются гнезда и мелко-кристаллического пирита как в алевритовых, так и в глинистых прослоях пород.

Верхняя половина разреза свиты состоит из чередующихся между собой пластов и прослоев алеврито-глинистых сланцев, алевролитов, кварцитов, кварцитовидных песчаников. Кварциты и кварцитовидные песчаники серые, светло-серые, изредка полосчатые, пронизаны прожилками молочно-белого кварца мощностью до 1см. Кварциты образуют пласти мощностью 1-3м. Структура их регенерационная, иногда мозаичная. Состоят они, почти нацело, из зерен кварца удлиненной формы размером 0,5-0,7мм. Свита завершается 10м пачкой черных тонкоплитчатых глинистых сланцев.

Общая мощность свиты в данном разрезе около 600м.

Несколько иначе выглядит разрез свиты по р. Немунь, где существенно преобладает глинистый материал. Нижняя часть свиты здесь представлена темно-серыми и серыми алеврито-глинистыми и глинисто-алевритовыми сланцами с пропластками (до 1,0м) слоистых тонкосозер-

нистых зеленовато-серых и серых кварцитов и тонкоплитчатых черных филлитизированных глинистых сланцев. Алевролиты состоят из кварца и альбита - 80-90, карбонатов - 15-20, хлорита и серицита - 3, рудного минерала - 2-3%. Структура бластоалевропелитовая. Глинистые и алеврито-глинистые сланцы состоят из хлорита и серицита - 60-70, кварца и альбита - 30-40, рудного минерала - до 2% и пелитового материала. Структура бластопелитовая, переходящая в гранолепидобластовую.

Верхняя часть свиты (250-300м) сложена чередующимися темно-серыми и серыми глинисто-алевритовыми сланцами, серыми алевролитами и желтовато-серыми кварцитами. К верхам свиты возрастает количество и мощность прослоев алевролитов и кварцитов. В самых верхах свиты имеется несколько пластов черных тонкоплитчатых филлитизированных глинистых сланцев с четко выраженной слоистостью.

В бассейне р. Немунь в породах свиты сравнительно меньше встречается вкрапленность кристаллов пирита, являющаяся характерной для свиты на остальных площадях.

На водоразделе рек Корды и Вангаша в поле распространения отложений погорской свиты в виде осипей и курумов распространены сахаровидные белые и розоватые средне- и грубозернистые кварцито-видные песчаники. Мощность их не определена, так как в коренном залегании они нигде не вскрыты.

Полосчатость алеврито-глинистых и глинисто-алевритовых сланцев погорской свиты обусловлена чередованием темно-серых до черных глинистых и более светлых алевритовых прослоев. Мощность тех и других прослоев варьирует от долей миллиметра до 1,0-1,5см.

Сланцы состоят из алевропелитового материала и серицита. Наблюдаются чередование прослоев, состоящих из глинистых частиц, мелких чешуек серицита, зерен кварца и прослоев, состоящих из зерен кварца размером около 0,05мм, между зернами кварца присутствует серицито-пелитовый материал. Структура пелитоалевритовая, текстура сланцеватая.

Для отложений погорской свиты характерно увеличение содержания алевритового материала и размеров обломочного материала снизу вверх. К верхам свиты размер обломочных зерен вновь уменьшается.

Мощность погорской свиты в районе более 600м.

Сосновская свита ( $Pt_3$ ) известна в верховьях рек Бол. и Мал. Турмы, Конги, Корды, Иочимо, Микчанго, Вангаша, Немуни. Залегает она на нижележащих отложениях согласно.

Отложения сосновской свиты представлены разноцветными, преимущественно зелеными, силеневыми, серыми и черными глинистыми из-

вестняками, пастроцветными известково-глинистыми сланцами. В верхах свиты имеется прослой небольшой мощности (до 15см) карбонатных конгломерато-брекчий (по береговым обнажениям р. Иочимо).

В основании сосновской свиты в верховья рек Микчанго, Конги и руч. Дулижмо залегают зеленовато-серые и серовато-зеленые, реже фиолетово-серые или темно-серые известково-глинистые и глинистые сланцы постепенно вверх сменяются пачкой (более 100м) полосчатых плитчатых глинистых известняков и известково-глинистых сланцев. Полосчатость пород обусловлена чередованием силеневых и зеленоватых прослоев мощностью от долей миллиметра до 10-15см.

Микроскопический анализ силеневых разностей известняков показывает, что кроме карбонатного материала в них содержится кварца - 5-10 и пылеватого рудного минерала - гематита - до 20%. Зеленоватые разности известняков и известково-глинистых сланцев содержит, кроме карбонатов - 90, незначительные количества кварца - 1,5, хлорита - 3-5% и рудного минерала.

Вышеописанная пачка полосчатых известняков известна везде на площади развития сосновской свиты. Эти породы являются характерными для отложений свиты как на площади данного района, так и по всему восточному склону Енисейского кряжа и служат маркирующим горизонтом при картировании.

Верхняя часть свиты сложена переслаивающимися разноцветными известняками и известково-глинистыми сланцами. По береговым обнажениям р. Иочимо наблюдается чередование силеневых, желтовато-серых и кремово-серых плитчатых и тонкоплитчатых известняков. Выше следуют тонкоплитчатые силеневые глинистые известняки и известково-глинистые сланцы, среди которых прослеживаются прослои мощностью не более 10м серых скрытокристаллических известняков с полураковистым изломом, тонкоплитчатых кремово-серых известняков, светло-серых и светло-силеневых доломитизированных известняков и прослой кремовых и серых конгломерато-брекчий. В конгломерато-брекчиях обломочный материал размером 0,5-5,0см, в большинстве случаев плохо окатанный, состоит из доломитизированных известняков и сцепментирован карбонатным цементом. Граница между цементом и обломками нечеткая и свидетельствует о том, что гальки образованы из неполностью литифицированных пород. Свита завершается пачкой (50м) черных известняков.

В верховьях р. Конги верхняя часть свиты представлена черными известково-глинистыми сланцами с прослоями (до 10см) плитчатых черных и буровато-серых тонкоплитчатых глинистых известняков и известково-глинистых сланцев. Известково-глинистые сланцы состоят

из пелитового материала - 60-70, кальцита - 20-30 и небольшой примеси хлорита, серицита, единичных зерен кварца. Структура их пелистовая, текстура сланцеватая, неяснослоистая. Черные и буровато-серые известняки микрозернистой структуры, состоят из микрозерен кальцита (0,02мм). В них встречаются редкие зерна кварца и полевых шпатов размером 0,07-0,08мм, вкрапленность "углистого" материала, чешуйки серицита.

На правом склоне долины р. Вангаша (в районе устья второго правого притока от истока) в коренных обнажениях и по осыпям в верхах свиты устанавливаются серые, фиолетово-серые, розовато-бурые глинистые известняки с двумя прослоями (2-3м) желтовато-серых и кремово-серых известняков с полураковистым изломом. Свита завершается черными массивными известняками с редкими тонкими прожилками белого кальцита и серыми с буроватыми пятнами ("рыбыми") плитчатыми известняками.

Общая мощность свиты около 400м.

В верховьях р. Когни, в районе устья руч. Дулижмо, по р. Бол. Турмы на очень незначительных площадях наблюдаются черные тонко-плитчатые глинистые сланцы со слабо выраженной слоистостью. Возможно эти сланцы относятся к потоскайской свите, залегающей на отложениях сосновской свиты, но отсутствие коренных выходов их и достоверных данных об их залегании на карбонатных породах сосновской свиты и крайне незначительное их распространение не позволяют их выделить на геологической карте.

#### Тасеевская серия нерасчлененная (Pt<sub>3</sub>\*)

Отложения тасеевской серии залегают со структурным несогласием на различных свитах верхнего протерозоя. В большинстве случаев площади развития отложений тасеевской серии ограничиваются разрывными нарушениями и лишь в верховьях р. Кото и в бассейне руч. Печениченского наблюдается стратиграфический контакт.

По руч. Печениченскому и в бассейне р. Оленчимо в основании серии превалируют конгломераты. Окатанная и полуокатанная галька и валуны размером до 20-35см в диаметре, представлены кварцитами серого цвета с разными оттенками. Цементом служит песчано-глинистый материал красновато-бурого цвета. Среди конгломератов наблюдаются маломощные прослои песчаников. Стратиграфически выше, конгломераты сменяются песчаниками и гравелитами. Гравелиты от мелко- до крупногалечных красновато- и желтовато-бурого цвета. Гальки преимущественно кварцевые, реже полевошпатово-кварцевые, цементи-

рующая масса состоит из песчано-глинистого материала. Песчаники от мелко- до крупнозернистых, лилово-красного и желтовато-бурового цветов. По составу преимущественно кварцево-полевошпатовые с железистым цементом соприкосновения. Редко встречаются песчаники с карбонатным цементом, а также красно-бурые песчанистые известняки с содержанием кварцевого материала до 45 и известкового - около 55%, последний представлен криптокристаллическими образованиями кальцита.

В верховьях р. Кото вскрыты песчаники от тонко- до среднезернистых, серого, реже светло-серого цвета, с желтоватыми, красноватыми и лиловыми оттенками. По составу полевошпатово-кварцевые с полуокатанным обломочным материалом. Иногда в песчаниках наблюдаются отдельные, более крупные (3-5мм) зерна кварца или галечки (до 10мм) глинистых сланцев. Цемент соприкосновения, железистый, редко серицито-кварцево-железистый.

На водоразделе ручьев Чубкоша и никольского отложения тасеевской серии в нижней части разреза представлены зеленовато-серыми, серыми и зелеными мелкозернистыми песчаниками. В песчаниках чередуются прослои с глинистым и известковым цементом. В подчиненном количестве встречаются прослои глинистых и песчано-глинистых известняков и известковистых рассланцованных аргиллитов. Верхняя часть серии сложена красноцветными полимиктовыми разнозернистыми песчаниками, часто с известковым цементом. По литологическому составу она аналогична породам, развитым в верховьях р. Кото.

Как видно из приведенного описания, на разных участках осадочные образования тасеевской серии представлены несколько отличающимися и несопоставимыми по литологическому составу и комплексами пород. Возможно, что это разновременные отложения образовавшиеся в результате перемещения береговой линии. На это указывает и уменьшение мощностей с юго-запада на северо-восток. В бассейне р. Дыдан развиты наиболее нижние части разреза мощностью до 400м. В верховьях р. Кото из основания разреза выпадают зеленовато-серые песчаники и разрез начинается с красноцветных песчаников. Мощность их здесь не более 200м. В районе руч. Печениченского наблюдается дальнейшее уменьшение мощности и, по-видимому, отложения здесь соответствуют только верхней части разреза бассейна р. Кото.

Нижний отдел не расчлененный ( $Ст_1$ )

Отложения нижнего кембрия развиты в нижнем течении рек Иочкино, Оленчимо и Дюбком. Они согласно, но, возможно, с небольшим стратиграфическим перерывом залегают на тасеевской серии.

Нижнекембрийские отложения представлены известняками, доломитами, доломитизированными известняками, песчанистыми известняками, реже известковистыми песчаниками, мергелеподобными скрытокристаллическими известняками.

Известняки буровато-серые, светло-серые (очень редко красноцветные), массивные, плотные с полураковистым изломом. Они обычно криpto- и мелкокристаллические, часто с примесью песчанистого и глинистого материала от 15 до 45%. Доломиты и доломитизированные известняки наблюдались в виде прослоев.

На правом склоне долины р. Оленчимо, в 1км выше от крутого поворота русла реки на север наблюдается следующее переслаивание (снизу):

1. Известняки буроватые, светло-серые, скрытокристаллические, с конгломератовидной текстурой, с пустотами выщелачивания, выполнены белым кальцитом..... более 20 м

2. Известняки желтоватые и светло-серые, скрытокристаллические; излом неровный, шероховатый..... около 3 "

3. Доломиты лилово-серые, скрытокристаллические, плотные, иногда слоистые (слоистость обусловлена чередованием лилово-серых и зеленовато-серых прослоев доломитов и белых известняков)..... около 5 "

4. Известняки кремово-белые, песчанистые, мелкопристые. Поры выполнены гидроокислами железа..... около 15 "

Доломиты сложены ромбическими кристаллами доломита (0,03-0,15мм). Структура их мозаичная. В доломитизированных известняках содержание доломита достигает 45%, пространство между ромбоэдрами доломита выполнено криптокристаллическими образованиями кальцита. Из аксессориев наблюдаются единичные полуокатанные зерна циркона (малакон).

Общая мощность нижнекембрийских отложений, по-видимому, не более 500м.

## Средний и верхний отделы

Эвенкийская свита развита повсеместно в бассейне рек Корды, Оленчимо и характеризуется широким развитием красноцветных терригенно-карбонатных пород, залегающих пологонаклонно со структурным несогласием на нижнекембрийских отложениях. На площиде листа свита расчленена на три подсвиты, однако, такое расчленение на большей части территории несколько условно, из-за слабой её обнаженности.

Нижнеэвенкийская подсвита ( $Ст_{2-3}ev_1$ ) распространена в верховых левых притоков р. Корды. Небольшая площадь её закартирована по руч. Винтовке. Подсвита сложена, в основном, красноцветными крупногалечными конгломератами, среди которых встречаются гравелиты и разнозернистые, часто известковистые, песчаники.

Конгломераты состоят из слабо отсортированного, от слабоокатанного до хорошо окатанного галечного материала, размером до 10см, редко до 20см в поперечнике. Гальки состоят из кварцитовидных песчаников и кварцитов серого цвета, кварца, глинистых сланцев, песчаников, доломитов и известняков. Состав галек определяется составом подстилающих подсвиту пород. Например, в верховых р. Корды и в приустьевой части р. Микчанго гальки конгломератов, в основном, сложены кварцитами и глинистыми сланцами погорской и удерейской свит, а в верховых р. Ильгидакита - красноцветными песчаниками, разноцветными известняками и доломитами, т.е. материалом близлежащих пород тасеевской серии и нижнего кембрия.

Вскрытая мощность нижнеэвенкийской подсвиты около 180м. Подсвита с перекрывающими её отложениями повсеместно в районе имеет тектонический контакт.

Среднеэвенкийская подсвита ( $Ст_{2-3}ev_2$ ) наиболее доступна наблюдениям и изучена по коренным выходам в долине р. Корды и по элювиально-делювиальному материалу в бассейнах р. Ниж. Ильгидаките.

Здесь широко развиты разноцветные карбонатные отложения, изредка со значительным содержанием терригенного материала. Они представлены известняками, доломитизированными известняками, алевритовыми, алевритистыми, глинистыми, строматолитовыми известняками, известковыми алевролитами, мергелями различных окрасок.

Известняки состоят из псевдоолитов округлой формы (0,2-0,3мм), сложенных микрозернами и криптокристаллическими образованиями кальцита, часто пропитанными бурыми гидроокислами железа. За счет последних псевдоолиты четко выделяются на фоне чистого микрокристаллического кальцита. Псевдоолиты нередко соприкасаются друг с

другом. В промежутке между солитами наблюдаются различной окатанности обломки (0,05-0,2мм) кварца, реже полевых шпатов, глинистых, железисто-глинистых и алеврито-глинистых сланцев до 5-10% и единичные микрозерна рудного минерала. Структура пород псевдосолитовая.

Алевритовые и алевритистые известняки состоят из микрокристаллического кальцита и алевритовых зерен (0,05-0,15мм) кварца, полевых шпатов, алеврито-глинистых и "углисто" - глинистых сланцев с незначительной примесью листочек мусковита и хлоритизированного биотита. Кристаллы кальцита (0,08-0,17мм) с извилистыми и зубчатыми ограничениями. Алевритовый материал, составляющий до 35% породы, распределен равномерно. Редко наблюдаются в породе обломки кристаллов турмалина. Структура пород микрозернистая, текстура сланцеватая или слоистая.

Глинистые известняки имеют слоистую текстуру и состоят из прослоев, сложенных криптокристаллическим кальцитом с примесью редких алевритовых (до 0,03мм) зерен кварца, полевых шпатов, мелких чешуек хлорита, серицита, биотита, мельчайших зерен рудного минерала и небольшого количества пелитового материала и прослоев, сложенных микрокристаллическими образованиями кальцита с примесью до 5% вышеперечисленных минералов и мелких обломков глинистых сланцев. В этих же прослоях отмечается начальная стадия образования псевдосолитов. Границы между слоями более или менее отчетливые, структура крилто- и микрокристаллическая.

Известковые алевролиты состоят из зерен кварца (0,05-0,1мм), небольшого количества калиевого полевого шпата и кислого плагиоклаза, скементированных микрокристаллическим кальцитом (до 0,08мм) с примесью мелких листочек биотита, хлорита, мусковита и рудного минерала. Цемент часто пигментирован буроватыми гидроокислами железа.

Взаимоотношения вышеописанных пород характеризуются сложным переслаиванием и взаимопереходами друг в друга как в разрезе, так и по простиранию.

В районе р. Ильгидакита в известняках верхней части среднеэвенкийской подсвиты наблюдаются налеты и примазки малахита по плоскостям напластования. Здесь же встречаены два прослоя строматолитовых известняков, которые к верховым р. Корды, по-видимому, выклиниваются.

Мощность отложений среднеэвенкийской подсвиты, исходя из графических построений, около 160м.

Верхнеэвенкийская подсвита ( $C_{2-3}^{ev_3}$ ) распространена в бассейне среднего течения р. Корды, на более высоких частях водоразделей-

ных пространств. Она согласно, как правило, с конгломератом в основании залегает на среднеэвенкийской подсвите.

Нижняя половина подсвиты сложена красновато-бурыми конгломератами с песчано-известковым, реже песчано-глинистым цементом (правобережье р. Корды в Эм ниже устья р. Микчанго). По сравнению с конгломератами нижнеэвенкийской подсвиты, степень скатанности гальки в них более высокая и средний диаметр галек в 2-3 раза меньше. Среди конгломератов присутствуют прослои песчаников кирпично-красных с разными оттенками, тонко- и мелкозернистых. Мощность прослоев несколько десятков метров. Минералогический состав их близок составу песчаников среднеэвенкийской подсвиты.

Верхняя часть подсвиты состоит преимущественно из зеленовато-серых тонкозернистых песчаников, четкослоистых (из-за присутствия темно-фиолетовых окисленных прослоев). В песчаниках наблюдается редкая вкрапленность рудного минерала и глауконита.

У устья р. Ниж. Ильгидакит в нижней части разреза шурфами вскрыты бурые, с разноцветными оттенками, тонкозернистые слоистые песчаники, часто известковистые. Верхняя половина подсвиты аналогична разрезу, вскрытыму ниже устья р. Микчанго.

Мощность верхнеэвенкийской подсвиты в районе около 160м.

#### ЧЕТВЕРТИЧНАЯ СИСТЕМА

Верхнечетвертичные и современные отложения объединенные ( $Q_{III+IV}$ )

Отложения четвертичной системы распространены повсеместно в виде маломощного чехла делювиальных, элювиальных, пролювиальных и реже коллювиальных образований.

Четвертичные отложения на водораздельных пространствах и склонах долин по мощности не превышают - 2,0-2,5м. Лишь в северной части района, и особенно в бассейне р. Оланчино, на площади развития кембрийских отложений мощность элювиально-делювиального чехла достигает 7-8м. Породы четвертичной системы представлены желтоватыми, буроватыми и темно-серыми суглинками и супесями с обломками коренных пород. Количество обломочного материала в них варьирует в широких пределах.

По долинам рек развиты аллювиальные отложения лессовых и язычковых надпойменных террас. Отложения состоят из гравия и гальки с небольшой примесью песка и глины. Лески обычно кварцевые, разнозернистые, иногда золотоносные, мощность их в среднем 3-5м.

## ИНТРУЗИВНЫЕ ОБРАЗОВАНИЯ

Интузивные породы в районе имеют ограниченное распространение. Среди них выделяются амфиболиты, диабазы, долериты и граниты. Амфиболиты отнесены к индиглинскому, диабазы - токминскому и ведугинскому (?), граниты - к татарско-аяхтинскому комплексу, долериты - формации сибирских траппов.

Индиглинский комплекс не расчленен и ваний ( $N_1 Pt_3$ ) представлен ортоамфиболитами, которые распространены на водоразделе рек Мал. Гурахты и Бугарихты, небольшой выход их имеется у юго-западной оконечности Каламинского гранитного массива. Они образуют небольшие (до 1км в поперечнике) тела неправильной формы среди отложений верхнепенченгинской подсвиты. На водоразделе рек Мал. Гурахты и Бугарихты вскрыты зеленовато-серые крупно- и среднекристаллические породы массивной или слабо сланцеватой текстуры. Структура их гранобластовая. Состав они из амфиболов - 50-60, плагиоклазов - 30-40%, небольшого количества хлорита, калиевого полевого шпата, эпидота и акцессорных минералов - апатита, циркона, сфена.

Реликты габбровой структуры, иногда наблюдающиеся в амфиболитах, позволяют считать их ортопородами за счет изменения основных пироксеновых пород. Экзо- и эндоконтактовые изменения незначительны.

Химический состав амфиболитов приведен в табл. I.

Токминский комплекс ( $N_2 Pt_3$ ) образует четыре параллельных линейно вытянутых в северо-западном направлении тела (IxI; 0,5x1,6; 0,8x3,0; 0,5x6,0км) на водоразделе рек Огни и Олонокона. Приурочены они к ядру антиклинали, сложенной отложениями кординской и удерейской свит. Среди них выделяются следующие разновидности диабазов, имеющие постепенные переходы друг в друга и отличающиеся степенью изменения и структурными особенностями: измененные габбро-диабазы; кварцевые диабазы; альбитизированные и амфиболизированные диабазы (Сверкунова, Пешин, 1962).

Измененные габбро-диабазы встречаются в краевых частях массивов. Представляют они мелко- или среднекристаллические породы темно-зеленого цвета и состоят из альбитизированного плагиоклаза, пироксена (почти нацело замещенного актинолитом) и незначительного количества рудного минерала. Вторичными являются хлорит, реже встречается эпидот и кальцит. Структура пород облитовая, в измененных разностях реликтовая.

Таблица I

№	п/п	SiO <sub>2</sub>	Химический состав, %										П.П.П.	Сумма окислов
			TiO <sub>2</sub>	Al <sub>2</sub> O <sub>3</sub>	Fe <sub>2</sub> O <sub>3</sub>	FeO	MnO	MgO	CaO	Na <sub>2</sub> O	K <sub>2</sub> O	P <sub>2</sub> O <sub>5</sub>		
I	49,04	0,29	13,56	2,14	12,35	0,025	9,04	10,19	1,12	0,34	0,049	0,21	98,8	
2	48,45	2,16	13,97	5,47	8,77	0,23	6,42	6,4	4,17	0,73	0,034	2,77	99,57	
3	47,3	2,2	13,37	3,49	8,93	0,2	7,7	9,46	2,34	0,78	0,4	3,31	99,48	
4	73,30	0,28	12,53	0,82	1,92	следы	1,23	1,04	3,5	4,41	0,063	0,35	99,99	
5	71,16	0,35	13,62	1,12	2,29	следы	0,88	1,72	3,8	3,46	0,063	0,58	99,03	
6	70,45	0,35	13,78	3,18	1,01	0,041	0,65	1,50	5,42	2,33	0,027	0,67	99,30	
7	68,28	0,67	15,16	1,0	3,61	следы	1,02	2,28	3,59	3,1	0,II	0,53	99,58	
8	67,56	0,71	14,7	1,38	4,8	следы	3,24	4,01	2,49	2,19	0,16	0,76	99,01	
9	44,1	1,62	15,32	6,44	6,56	0,198	5,45	8,2	3,08	2,81	0,40	5,27	99,48	

Числовые характеристики по А.Н. Заваричному

№	п/п	A	C	B	S	Q	a	c	b	s	n	t	φ	£'	ш'
		I	III	IV	V	VI	VII	VIII	VIX	VII	VII	VII	VII	VII	VII
I	43,2	150	61,7	404,7	829,8	- 1,05	2,92	7,51	33,45	56,18	84,26	I,54	5,42	40,27	45,38
2	92,8	84,3	446,4	816	- 9,9	10,34	4,25	27,89	57,51	89,86	3,26	16,80	47,69	39,39	
3	206,2	18,8	70,2	1230,8	- 4,36	6,44	5,86	31,01	56,69	81,46	3,43	9,81	38,33	42,78	
4	195,2	35,6	62,3	1189,1	+31,72	13,51	I,23	4,60	80,65	54,31	0,30	14,53	52,42	43,59	
5	228,4	21,1	74	1177,5	+25,86	14,91	I,54	2,40	4,20	80,23	63,52	0,38	22,47	73,67	34,67
6	181,6	40,6	121,9	1145,3	+26,61	12,19	2,72	8,18	76,90	63,66	0,75	9,84	50,94	20,84	
7	125,6	71,2	184,8	1133,7	+28,37	8,28	4,70	12,20	74,81	63,54	0,80	9,52	45,78	43,39	
8	159,4	70,5	385,4	754,2	-18,29	II,64	5,15	28,14	55,07	62,63	2,67	20,97	45,38	32,43	

Примечание: 1 - амфиболиты, водораздел рек Мал.Гурахты и Коломии; 2 - граниты, водораздел ручьев Григорьевского и Торгового; 3 - диабазы алльбитизированные граниты, зерновые рутиевые граниты, Бугарихты и правый склон р. Коломии; 4-5 - гнейсограниты, нижнее течение р.Коломии; 6 - лейкократовые граниты, правый склон долины р.Мал.Гурахты; 7-8 - гнейсограниты, правый склон долины р.Мал.Гурахты.

Кварцевые диабазы имеют офитовую структуру, состоят из альбитизированного плагиоклаза и моноклинного пироксена, который почти полностью замещен уралитовой роговой обманкой.

Альбитизированные и амфиболизированные диабазы крупно- и мелкокристаллические с интерсертальной структурой основной массы, и порфировыми образованиями. Минералогический состав их: моноклинный пироксен, амфибол (актинолит за счет первичной роговой обманки и пироксенов). Амфибол и хлорит являются главной составной частью породы. Контактовые изменения выражаются в слабом ороговикении окружающих пород.

Татарско-Аяхтинский комплекс ( $N_3Pt_3$ ) слагает Каламинский, Викторовский и Гурахтинский гранитные массивы.

Каламинский массив представлен юго-восточной оконечностью, в среднем течении р. Коломы и вытянут в северо-западном направлении на 16 км при максимальной ширине 6 км. Структурно он приурочен к ядру Панибинского антиклиниория, прорывает и метаморфизует отложения пенчангинской свиты. Контакты массива крутие. Контактовые изменения выражаются в ороговикении, биотитизация, мусковитизации, мраморизации, мигматизации пород, в развитии кристаллических сланцев и гнейсов.

Викторовский массив расположен у устья р. Севагликон и руч. Бугарихты. Массив занимает площадь менее 6 км<sup>2</sup>. Минералогический состав его полностью соответствует гранитам Каламинского массива. Возможно он на глубине соединяется с Каламинским, образуя крупный батолит.

Гурахтинский массив занимает незначительную площадь в юго-западной части района. В основном массив находится на площади соседнего листа. Он прорывает и метаморфизует отложения пенчангинской и кординской свит. Кроме вышеуказанных массивов, на водоразделе Енашимо-Вангаш имеется ряд мелких разобщенных тел. В верховьях р. Оллонокон на протяжении 1 км прослеживаются глыбы и валуны гранитов в русле. Данные высокоточной аэромагнитной съемки позволяют оконтурить здесь интрузив, который, очевидно, только начинает вскрываться.

Среди пород комплекса выделяются следующие разновидности: порфировидные биотитовые граниты, биотитовые мелкокристаллические граниты, гнейсо-граниты, лейкократовые граниты, диориты и кварцевые диориты.

Порфировидные биотитовые граниты средне- и крупнокристаллические, слагают центральную часть крупных массивов. Породы серые, светло-серые разнокристаллические, с гипидиоморфнозернистой пор-

фировидной структурой. Состоят они из кварца - 35, решетчатого микроклина - 35-38, образующего часто крупные порфировидные выделения размером до 1,5-2,0 см, олигоклаза №22-29 - 20, биотита - 7-8%. Вторичные минералы: хлорит, серицит, эпидот, акцессорные - турмалин, апатит, сфеин, рудный минерал, редко монацит.

Биотитовые мелкокристаллические граниты располагаются ближе к периферийной части гранитных массивов. Встречаются они в виде небольших участков среди биотитовых порфировидных крупнокристаллических гранитов. По составу мелкокристаллические граниты полностью аналогичны крупнокристаллическим. Среди них встречаются контаклизированные, реже милонитизированные (в краевых частях массивов) разности. Очень редко среди биотитовых гранитов, главным образом, в делювии на площади развития Гурахтинского массива, встречаются роговообманково-биотитовые, двуслюдянные, гранит-порфиры, биотитовые адамеллиты, плагиограниты и аляскиты (Лейбович, 1956).

Гнейсо-граниты слагают краевые части Каламинской интрузии. Переход от порфировидных биотитовых гранитов к гранито-гнейсам постепенный. По минералогическому составу они соответствуют порфировидным биотитовым гранитам. Состоят они из кварца - до 30, калиевого полевого шпата - 30-40, плагиоклаза - 20-30, биотита - менее 10%. Аксессорные минералы - апатит, циркон, вторичные - серицит, мусковит, хлорит, эпидот. Гнейсовидность обусловлена ориентированной зерен полевого шпата и листочков биотита. Химический состав их см. табл. I.

Лейкократовые граниты слагают небольшие тела среди биотитовых порфировидных гранитов Каламинского массива в нижнем течении р. Коломы, а также образуют небольшой интрузивный массив на водоразделе р. Енашимо-Колома. По всей вероятности они образуют краевую фацию Каламинского гранитного массива. Это светло-серые, желтовато-серые среднекристаллические породы состоящие из кварца - 30, калиевого полевого шпата - 38, плагиоклаза - 40 и незначительного количества чешуек биотита. Аксессории представлены: цирконом, рудным минералом, турмалином, вторичные - хлоритом, эпидотом. Химический состав их приведен в табл. I.

Диориты и кварцевые диориты встречаются в северной краевой части Гурахтинского массива. Это плотные зеленовато-серые и серые среднекристаллические породы, состоящие из кварца (кварцевые диориты) - 12-17, амфибала - 25-35, плагиоклаза - 40-65, калиевого полевого шпата - до 10, биотита - до 5%. Амфибол представлен зеленой, реже бурой роговой обманкой. Структура пород диоритовая. Аксессории: апатит, циркон, сфеин и рудный минерал. Вторичные - серицит, мусковит, эпидот и цоизит.

Ширина ореола контактового метаморфизма Каламинского и Гурахтинского гранитных массивов непостоянна и достигает местами 2-3 и более километров. Обилие ксенолитов и остатки кровли в пределах массивов указывают на незначительную глубину эрозионного среза массивов.

Жильная фация пород комплекса представлена пегматитами, аplitами, кварцевыми и карбонатными жилами.

Пегматиты по петрографическому составу можно выделить в следующие разновидности: кварцево-микроклиновые крупнокристаллические, кварцево-мусковито-полевошпатовые с турмалином - шерлом и сложные пегматиты с литиевыми минералами.

Кварцево-микроклиновые пегматиты в виде маломощных жил (5-10 см) вскрыты шурфами в нижнем течении р. Дыдан. Это светло-серые крупнокристаллические породы, состоящие почти из равного количества кварца, микроклина и редких чешуек биотита. Кварцево-мусковито-полевошпатовые пегматиты пользуются небольшим распространением на водоразделе Енашимо-Коломи. Это грубокристаллические желтовато-серые, розоватые породы, состоящие до 60% из микроклина. Характерным для них является наличие черного турмалина, который часто образует крупные шлиры (1-3% от массы породы). Сложные пегматиты известны на правом склоне долины р. Енашимо в 3 км на северо-запад от поселка Верх. Енашимо. С ними связано берилло-литиевое рудопроявление. Основными пордообразующими минералами являются - кварц, микроклин, олигоклаз, сподумен, альбит, мусковит. Аксессории: турмалин (черный, зеленый, розовый), апатит, биотит, циркон, циртолит. Рудные минералы - берилл, лепидолит, колумбит-танталит, касситерит, арсенопирит, пирит, уранинит.

АPLITЫ пользуются незначительным распространением. Встречены они в делювиальных свалах в нижнем течении р. Дыдан и на правом склоне долины р. Мал. Гурахты. Породы мелкокристаллические, розово-белые, состоят из кварца, полевых шпатов и редких чешуек мусковита и биотита. Аксессории - циркон, апатит, сфен.

Кварцевые жилы широко развиты в районе. Они секут все протерозойские отложения. Мощность кварцевых жил от нескольких сантиметров до 15-20 м. Жилы сложены кварцем нескольких разновидностей: молочно-белым крупнокристаллическим, беловато-серым полупрозрачным, крупно- и среднекристаллическим, белым мелковзернистым сахаровидным, серым халцедоновидным, серым прозрачным гребенчатым. Форма жил сложная. Прослеженная длина их от нескольких сантиметров до первых сотен метров.

Карбонатные жилы распространены в известково-глинистых породах сосновской свиты. Они имеют небольшую мощность - от несколь-

ких сантиметров до первых десятков сантиметров. Прослеженная длина их до первых десятков метров.

Ведугинский (?) комплекс ( $\mu\beta$  Pt<sub>3</sub>) представлен дайками диабазов и диабазовых порфиритов на водоразделе рек Енашимо-Коломи и Коломи-Вангаш. Дайки прорывают отложения ленченгинской и кординской свит и имеют, очевидно, небольшие мощности (первые метры судя по элювию). Простижение даек северо-северо-западное. Породы темно-серые до черного цвета, структура их порфировая, диабазовая. Состав они из плагиоклаза - 50, моноклинного пироксена - 30, основной массы - 10%. В незначительном количестве присутствуют амфиболы, оливин, тальк, серицит, апатит, рудный минерал. Отнесены к ведугинскому комплексу условно.

Формация сибирских траппов ( $\beta$  P-T) Траппы распространены на водоразделе рек Лев. Оленчимо и Ильгидакита, где они образуют пологоизогнутое пластообразное тело на площади около 12 км<sup>2</sup>. Здесь же имеется ряд мелких секущих дайкообразных тел. Кроме того, три небольших тела общей площадью не более 1 км<sup>2</sup> отмечены на правом склоне долины р. Оленчимо в нижнем ее течении. Траппы прорывают отложения кембрийской системы.

Внешний облик и макроструктуры траппов весьма однообразны. Это черные с зеленоватым оттенком массивные, равномерно-среднекристаллические породы. Петрографически могут быть отнесены к оливиновым долеритам. Структура их пойкилоофитовая. Главными пордообразующими минералами являются: плагиоклазы - 45-60, клинопироксены - 20-40, оливин - до 10 и ромбические пироксены - до 5%. Из вторичных минералов отмечаются хлорит, серпентин, хлорофейт. Аксессории - магнетит, титано-магнетит, ильменит - около 5%.

Вопрос о возрасте траппового магматизма на изученной территории не решается, он хорошо освещен в литературе (Гоньшакова, 1961, Лурье, Массайтис, Полунина, 1960). Аналогичные долеритовые интрузии относятся к третьей интрузивной фазе, проявившейся в пермо-триасе (Катангский комплекс).

## ТЕКТОНИКА

В структурно-тектоническом отношении изученный район расположен, в основном, на территории восточной части Енисейского поднятия, которое входит в состав байкальского складчатого обрамления Сибирской платформы. В северо-восточной части района байкалиды перекрыты средне-верхнекембрийскими платформенными образованиями, которые в домезозойское время охватывали, по-видимому, большую

часть Енисейского кряжа. В нынешнем эрозионном срезе платформенные образования палеозойского возраста четко разграничиваются с верхнепротерозойскими отложениями вдоль глубинного раскола фундамента. Западнее этой шовной зоны, которая была заложена еще в пермское время, в кайнозойской эре происходит заметная активизация тектонических движений. Последние привели к образованию Енисейского кряжа с его густорасчлененным низкогорным рельефом.

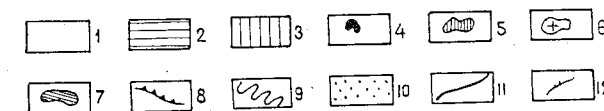
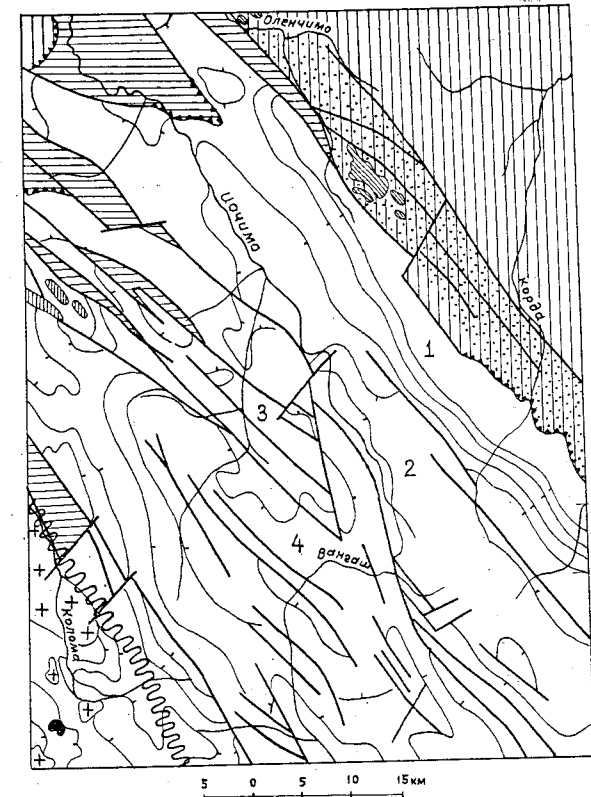
Отложения, распространенные на площади листа, образуют три структурно-формационных комплекса: протерозойский, протерозойско-нижнекембрийский и палеозойский (см.рисунок).

Протерозойский структурно-формационный комплекс образует две крупные структуры – Панибинский антиклинарий и Ангаро-Питский синклинарий, осложненные структурами второго порядка, к которым относятся Кординская антиклиналь, Иочиминская синклиналь, Немуньская антиклиналь и Дулижминская синклиналь.

Кординская антиклиналь в виде линейной складки прослеживается от фактории Корды в северо-западном направлении до верховьев руч. Пачениченского, где при периклинальном замыкании она осложняется отложением складками более высоких порядков. Ядро складки сложено отложениями кординской свиты, крылья – горбилокской и удерейской свит. Шарнир складки полого погружается в северо-западном направлении. Углы падения пластов на юго-западном крыле уменьшаются по мере удаления от оси от  $50^{\circ}$  до  $10^{\circ}$ . Северо-восточное крыло в бассейне р. Корды перекрыто почти горизонтально залегающими породами эвенкийской свиты.

Иочиминская синклиналь расположена юго-западнее Кординской антиклинали и охватывает центральную часть изученной территории. Блюдцеобразное ядро синклинали выполнено отложениями сосновской свиты. Крылья и широкие вытянутые замыкающиеся части синклинали, осложнены многочисленными складками более высоких порядков с разнообразной конфигурацией и амплитудами. Хорошо выражаются синклинали по р. Широцкой и в устье р. Кото, в верховьях р. Микчанго и антиклиналь по р. Кото. Кроме того, структура складки осложнена многочисленными сбросами. Для Иочиминской синклинали характерны сравнительно пологие углы падения пластов ( $10-20^{\circ}$ ).

Немуньская антиклиналь находится в бассейне р. Немунь, в районе её разветвления, она имеет в плане форму эллипса с извилистыми очертаниями (крылья осложнены мелкими складками высоких порядков). В ядре на дневную поверхность выходят отложения нижнеудерейской подсвиты, на крыльях – верхнеудерейской подсвиты, нижней час-



Тектоническая схема

1 - 3 - структурно-формационные комплексы: 1 - протерозойский, 2 - протерозойско-нижнекембрийский, 3 - палеозойский; 4 - ортоамфиболиты индиглинского комплекса; 5 - основные породы токминского комплекса; 6 - гранитоиды татаро-аяхтинского комплекса; 7 - долериты сибирских траппов; 8 - границы структурно-формационных комплексов; 9 - зона глубинного разлома; 10 - шовная зона Сибирской платформы и Енисейского поднятия; 11 - разломы; 12 - изолинии структур в протерозойском комплексе.

Цифрами на схеме обозначены локальные структуры: 1 - Кординская антиклиналь, 2 - Иочиминская синклиналь, 3 - Немуньская антиклиналь, 4 - Дулижминская синклиналь

ти погорюйской свиты. Обращает на себя внимание некоторая асимметричность Немуньской антиклинали – северо-восточное крыло менее осложнено мелкими складками и крутизна его погружения находится в пределах  $10-25^{\circ}$ . На юго-западном же крыле углы падения пластов достигают  $80^{\circ}$  при общем наклоне крыльев его  $7-8^{\circ}$ . Немуньская антиклиналь разбита целой серией параллельных разрывных нарушений северо-западного простирания.

Дулижминская синклиналь простирается в северо-западном направлении от верховьев р. Вангаша до верховьев р. Буяновки. Ядро её выполнено породами сосновской свиты, крылья – погорюйской, верхов удерейской свиты. Характерным для этой структуры является широкое развитие многочисленных мелких складок на общем фоне пологоего залегания пластов.

Такой же характер складчатости наблюдается на северо-восточном крыле Панибинского антиклиниория в коренных обнажениях по р. Вангашу у южной границы площади листа. Все известные золоторудные месторождения Северо-Енисейской тайги приурочиваются именно к такой структурной обстановке.

В верховьях рек Мал. и Бол. Туры наблюдаются северо-западное окончание крупной синклинали, расположенной в основном на площади листа О-46-Х, ядро которой выполнено отложениями сосновской свиты.

В бассейне р. Енашимо выходят на дневную поверхность самые древние отложения в описываемом районе. Здесь проходит ось Панибинского антиклиниория. Напряженность складчатости в осевой части антиклиниория резко возрастает и структура характеризуется многочисленными мелкими изоклинальными складками и разрывными нарушениями. К ядру антиклиниория приурочены интрузии гранитоидов Каламинского массива (татарско-аяхтинский комплекс). В этом же районе происходит смена фации кординской свиты. Восточнее этой зоны расположены все золоторудные месторождения. Это указывает на то, что здесь существовал подводящий канал для прохождения гидротерм. По-видимому, приблизительно по линии р. Коломи развивался долгоживущий глубинный разлом фундамента.

Верхне-протерозойский-нижнекембрийский структурно-формационный комплекс залегает с резким структурным несогласием на более древних отложениях. Естественные коренные выходы по рекам Иочимо, Оленчимо и искусственные обнажения показывают, что отложения тасеевской серии и нижнего кембрия дислоцированы много слабее. Углы наклона пластов, как правило, не превышают  $10-20^{\circ}$ . В изучен-

ном районе они образуют пологую синклинальную структуру, ось которой, по-видимому, имеет северо-западное простирание вдоль правобережья нижнего течения р. Иочимо. На фоне этой синклинали, судя по замерам развиты мелкие пологие брахискладки (до 2-3км) в плане.

Палеозойский структурно-формационный комплекс перекрывает как протерозойские, так и нижнекембрийские отложения. Он представлен в районе породами эвенкийской свиты. В целом отложения комплекса залегают очень полого или горизонтально. В бассейне р. Корды породы его имеют наклон ( $2-3^{\circ}$ ) на северо-восток. На фоне этого моноклинального залегания на водоразделе рек Ильгидакит и Ниж. Ильгидакит намечается небольшое куполовидное поднятие.

Разрывные нарушения широко развиты на площасти листа. Большинство из них поддаются дешифрированию по аэрофотоснимкам или могут быть прослежены по данным высокоточной аэромагнитной съемки. Все известные нарушения имеют сбросовый характер. Простирание большинства нарушений – северо-западное.

От верховьев р. Бол. Туры до верховьев р. Кото прослеживается зона, шириной около 15км, кулисообразно расположенных сбросов, реже сбросо-сдвигов северо-западного, иногда субмеридионального простирания. Вертикальное смещение по ним не превышает первых сотен метров. Об амплитуде горизонтальных смещений судить трудно. По всей вероятности, она тоже находится в пределах первых сотен метров. Эти северо-западного простирания нарушения в свою очередь пресечены перпендикулярными разрывами северо-восточного простирания, амплитуды смещения по которым находятся в пределах десятков метров. Протяженность таких нарушений не превышает 8-10км, в то время как разрывы северо-западного простирания прослеживаются на десятки километров.

В бассейне р. Автолика, по данным аэромагнитной съемки, интерпретируется система сбросо-сдвигов, по которым горизонтальное смещение достигает 2км.

В нижнем течении р. Когни, по результатам дешифрирования аэрофотоснимков и интерпретации карт графиков  $\Delta T$ , развиты многочисленные мелкие разрывные нарушения северо-западного простирания в пределах одних и тех же пачек, практически без вертикального смещения, которые на геологическую карту не вынесены. Мелкие поперечные, т.е. северо-восточного простирания, нарушения, не вызывающие сколько-нибудь заметных смещений пород, прослеживаются также на левобережье р. Иочимо. В верховьях рек Правой, Иочимо и Корды

прослеживаются кулисообразно расположенные сбросы, амплитуды которых находится в пределах 100-200м.

В северной части изученной площади развит целый ряд сбросов, которые оконтуривают отложения тасеевской серии и нижнего кембрия. Вертикальное смещение по ним, по-видимому, небольшое (до 100м). Система параллельно расположенных разрывных нарушений, по данным аэромагнитной съемки и аэрофотоснимкам в бассейне левых притоков р. Корды, по-видимому отражает глубинный раскол фундамента, по которой сочленяются структуры Енисейского кряжа с Сибирской платформой. Смена структурной обстановки подчеркивается изменением магнитного поля. Над структурами Сибирской платформы наблюдается более высокие (3-4 раза) значения магнитного поля.

Для отложений, слагающих протерозойский структурно-формационный комплекс, характерна рассланцовка, которая, как правило, совпадает со слоистостью. Только на крыльях небольших складок сланцеватость, сохраняя залегание структуры образует острый угол со слоистостью. Очень редко наблюдалось перпендикулярное расположение сланцеватости к слоистости.

История тектонического развития территории района представляется следующим образом. Во время образования отложений пичченгинской свиты существовал субгеосинклинальный режим. Начало периода формирования осадков кординской свиты означает появление довольно интенсивных дифференцированных колебательных движений, причем в восточную часть бассейна, т.е. восточнее р. Коломы, начинает поступать значительное количество терригенного материала, в то время как в западной части преобладают карбонатно-илистые осадки. По-видимому, западная часть бассейна претерпевает более интенсивные погружения и находится дальше от области смыва, а восточная подвержена колебательным движениям прерывистого характера, на что указывают прослои внутриформационных гравелитов. Одновременно с образованием гравелитов на севере Енисейского кряжа, в южной части его (бассейн р. Удерая) происходит формирование кислых эфузивов. Возможно, что полевые шпаты в гравелитах являются продуктом перемыка кислых эфузивов. Во время отложения осадков горбилокской и удерайской свит преобладает сплошное погружение на что указывает относительная фациальная высотность отложений. Время образования отложений погорийской свиты характеризуется учащением колебательных движений и обильным привносом терригенного материала, который прекращается ко времени образования отложений сосновской свиты. Более молодые верхнепротерозойские отложения на площади листа отсутствуют. По всей вероятности отложения тунгусикской серии эродированы, а ослянской - во-

обще не накапливались.

Конец протерозоя характеризуется проявлением складчатости, становлением кислых интрузий, поднятием и интенсивным размывом некоторых участков. В эту fazу складчатости образуются основные структуры протерозойского структурно-формационного комплекса, но полной консолидации структур не происходит. Территория вновь испытывает погружение. Притом трансгрессия морского бассейна идет с юго-запада на северо-восток. Надо отметить, что западнее р. Коломы мощность отложений тасеевской серии и нижнего кембрия резко возрастает. По-видимому, это объясняется субгеосинклинальным режимом в этой части Енисейского кряжа в то время, как на востоке характер осадконакопления указывает на субплатформенный режим.

В среднекембрийскую эпоху происходит новое поднятие района, что приводит к развитию старых и формированию новых разломов.

В верхнекембрийскую эпоху район снова испытывает погружение, сопровождающееся накоплением продуктов размыва. В последующем эти отложения были дислоцированы разрывной тектоникой. Особенно интенсивно развиты разрывные нарушения на границе Енисейского кряжа и Сибирской платформы, что, очевидно, является результатом блоковых подвижек фундамента. По этой ослабленной зоне наблюдается и широкое развитие интрузий долеритов сибирских траппов. Часть из них выходит на дневную поверхность, часть устанавливается на глубине по данным аэромагнитной съемки (уставшая часть р. Микчанго, на левобережье р. Корды). Блоковые подвижки в этой зоне, очевидно, продолжаются по настоящее время, на это указывают многие геоморфологические особенности рельефа.

## ГЕОМОРФОЛОГИЯ

Изученный район представляет собой низкогорную страну, в пределах которой развиты тектонико-денудационный и структурно-денудационный рельеф. Незначительную площадь занимает эрозионно-аккумулятивный рельеф по речным долинам.

Тектонико-денудационный рельеф образующий восточный склон Енисейского кряжа в свою очередь по морфологическим признакам группируется в подтипы: крутосклонный, пологохолмистый, пологосклонный расчлененный и слабо расчлененный, сглаженный.

Крутосклонный подтип рельефа образует в плане две полосы северо-западного направления, приуроченные к простиранию геологических

структур, прослеживающихся от верховьев р. Корды до левых притоков р. Оленчимо и от верховьев р. Немунь до верховьев руч. Винтовки (левый приток р. Иочимо). Абсолютные отметки водоразделов колеблются в пределах 500–650м с превышением над тальвегами речных долин до 350м.

Район характеризуется высокими грабнovidными узкими водоразделами, крутосклонными конусообразными сопками (денудационными останцами). Крутизна склонов достигает местами 45–50°. Повсеместно развиты V-образные долины мелких ручьев. Нередко последние имеют висячие устья.

Вышеописанный рельеф обуславливается геологической обстановкой, где на дневную поверхность выведены крутоизлегающие разностойчивые породы. Немногочисленные небольшие остатки денудационных поверхностей выравнивания на высоких водоразделах указывают на значительные поднятия этой области в кайнозое, что привело к усилению эрозионно-денудационных процессов и образованию расчлененного крутосклонного рельефа.

Пологохолмистый подтип рельефа приурочен к ядру Иочиминской синклинали. Абсолютные отметки водоразделов от 400 до 785м. Характерны широкие плоские водоразделы с пологими склонами (8–20°). Высокий плоский водораздел рек Корды, Вангаша и Когни, по всей вероятности, образовался и сохранился благодаря защитному чехлу сравнительно пологозалегающих кварцитов и кварцевых песчаников погорской свиты.

Пологосклонный расчлененный подтип рельефа наблюдается в южной и юго-западной частях района, приурочиваясь к распространению гранитов и пород сухопитской серии. Широкие водоразделы с пологими склонами, поверхности выравнивания с наивысшими отметками высот для района (г. Чирада–846м), широкие долины рек – все это говорит о более зрелой стадии развития рельефа. На площадях распространения гранитов повсеместно развиты обширные курумы.

Пологосклонный слабо расчлененный подтип рельефа развит в гранитах, выполненных кембрийскими отложениями. Им соответствуют полосы понижений с очень редкой речной сетью, широкими долинами и плоскими водоразделами. По сравнению с водоразделами, сложенными породами протерозойского возраста, поверхности кембрийских пород обычно снижены на 150–100м, и образуют нижний ярус водораздельных высот.

Депрессия, возможно, денудационно-тектонического происхождения, протягивается в северо-западном направлении от первого левого притока р. Корды (выше р. Микчанго) до среднего течения р. Иль-

гидакит. В рельефе она выражена заболоченным понижением шириной от 300м до 3,0км и длиной около 20км.

Сглаженный подтип рельефа в верховьях рек Кондоко, Кимая, Ильгидакита совпадает с выходом на поверхность известковых и известково-глинистых пород кординской свиты. Такого же типа рельеф на площади распространения пород сосновской свиты. Абсолютные отметки водоразделов колеблются в пределах – 360–660м.

В верховьях рек Когни, Бол. и Мал. Турмы на пологосклонных водоразделах, имеющих направление простирания пород, выделяются цепи небольших сопок и холмов – денудационного происхождения.

Структурно-денудационный рельеф Сибирской платформы характеризуется мягкими очертаниями рельефа. Здесь выделяется два морфологических подтипа: увалисто-холмистый рельеф и останцы траппового плато.

Увалисто-холмистый подтип рельефа отличается плавными очертаниями водораздельных холмов и увалов, пологими склонами (2–12°), широкими заболоченными долинами. Абсолютные отметки водоразделов – 360–480м, относительные превышения их над долинами достигают 200м. Широко развиты болота как на водоразделах, так и на пологих склонах водоразделов. В некоторых случаях выходы пологозалегающих пород образуют структурные уступы на склонах водоразделов.

Останцы траппового плато распространены в правобережье верховьев р. Лев. Оленчимо, где они на фоне пологохолмистого рельефа образуют отдельные высоты. Плосковершинная платообразная высота, вытянутая в северо-западном направлении, имеет длину 4км и ширину – 500–800м. Северо-западная оконечность плато обрывается скальными выходами траппов высотой до 30м. Траппы бронируют нижележащие более мягкие породы.

Эрозионно-аккумулятивный рельеф речных долин занимает незначительные площади. Долины основных рек Иочимо, Корды, Вангаша, Енашимо, Коломи имеют характерные особенности зависящие от геоморфологических черт района.

Долина р. Иочимо протягивающаяся по простиранию геологических структур имеет широкую пойму, пологие асимметричные, реже симметричные склоны. Долины мелких притоков и верховьев более крупных рек бассейна пересекая структуры обычно V-образные и глубоко врезанные, со слабо расчлененными крутыми склонами. В среднем и нижнем течениях долины расширяются, имеют ящикообразную форму. Местами поверхность склонов осложнена аккумулятивными и эрозионными террасами. По долине р. Иочимо выделяется: высокая пойма

высотою - 1,0-1,5м; I надпойменная терраса - 3-4м и шириной до 500м, поверхность её ровная, имеет небольшой наклон к реке; II надпойменная терраса - 6-8м, шириной до 100м. Вышеназванные террасы сохранились лишь в устьях крупных притоков (Кото, Немунь). Ширина поймы р. Иочимо в среднем течении до 1,2км. В расширенных участках долины повсеместно развиты пойменные болота.

долины рек Коломы и Вангаша и их притоков широкие, склоны пологие, днища долин в верховьях широкие пологопадающие. По р. Коломе на обоих сторонах долины прослеживаются эрозионно-аккумулятивные террасы. По наблюдениям Е.Я. Синюгиной (Синюгина и др., 1963ф) они не имеют каких-либо определенных уровней, отчетливо преобладающих по протяжению, и назвать цикловыми, отмечающими крупные этапы развития долины нельзя, а множественность террасовых уровней следует рассматривать как результат постоянного сравнительно равномерного врезания реки. С аллювиальными отложениями поймы и вышеуказанных террас связаны россыпи золота. Мощность террасовых отложений небольшая: галечные горизонты русловых фаций террас не превышают 4-5м, чаще мощность их всего 2-3м, илисто-песчаные отложения пойменных фаций, иногда сохраняющиеся в отрезках отшлифованных меандров, достигают 5-10м.

Мощность террасового аллювия сопоставима с аллювием поймы, что указывает на примерно один и тот же характер водного потока и условия формирования аллювия. Нередки случаи, когда аллювиальные отложения высоких террас перекрыты делювиальным плащом. Долины асимметричные, реже симметричные ячикообразные. В местах выходов более крепких пород долины сужаются и часто образуют крутые повороты (например, р. Колома, устье р. Дыдан). Наблюдаются случаи перехвата верховьев одних рек другими.

Река Корда и другие реки, текущие на площади распространения отложений тасеевской серии и кембрийской системы характеризуются широкими сравнительно неглубокими долинами с пологими склонами и заболоченными поймами. Ширина поймы р. Корды от 500м до 1,2км. Склоны долин асимметричные, пологие, заболоченные. По р. Корде четко выделяется высокая пойма - 1,0-1,5м, местами удалось зафиксировать I надпойменную террасу 3-4м. В районе устья р. Ильгидакита датированием установлена более высокая терраса - 6-8м (по всей вероятности II надпойменная терраса). Русло реки сильно меандрирует, беспрерывная миграция русла в пределах поймы обуславливает множество стариц и проток. Нередки озера-старицы, достигающие размеров 100x50м.

Карстовые формы рельефа несмотря на широкое распространение карбонатных пород, в районе не играют существенную роль. Карст на площади относится к закрытому типу, т.е. известняки и известковистые породы везде прикрыты толщей рыхлых элювиально-делювиальных образований. Карстовые формы рельефа представлены, главным образом, блюдцевидными понижениями диаметром до первых десятков метров. Слоны их пологие и покрыты песчано-глинистыми отложениями, дно плоское и часто заболочено. В среднем течении рек Кимай и Кондоко (притоки р. Корды), по ручьям Винтовка, Красный и др. (притоки нижнего течения р. Иочимо) наблюдается поглощение водотока подземными карстовыми трещинами, в результате чего русло вышеуказанных рек и ручьев в большинстве своем сухие - вода появляется лишь в приустьевых частях. В верхнем течении р. Прав. Оленчимо в пойме реки отмечен ряд небольших карстовых воронок размером 5x10м и глубиной до 3м. На водоразделе рек Чубкош, Дюбюш М.И. Лейбовичем описаны карстовые воронки конусообразной формы глубиной до 3м и диаметром до 7м.

Краткая история развития рельефа может быть представлена следующим образом. Низкогорный рельеф территории района образован в результате эрозионно-денудационного расчленения выравненной поверхности Енисейского кряжа. Абсолютные высоты основных водоразделов кряжа постепенно снижаются с юга на север, отражая основное направление поднятий, деформировавших древний пенеплен. В соответствии с общим уклоном проложены и долины главных рек: Енчимо, Коломи, Иочимо, Корды. Реликты древнего пенеплена, заросшие поверхности, наиболее близкие к этому пенеплену, вытягиваются вдоль главных водораздельных линий, разделяющих бассейны рек Коломи - Иочимо, Тей - Иочимо, Иочимо - Корды. От главных водораздельных линий высоты снижаются к долинам, образуя второстепенные более низкие водоразделы между притоками. Время образования древнего пенеплена, определяется как мезозойское. Континентальные отложения этого этапа не сохранились.

Далее следует нивелировка с образованием второго яруса высот.

К этой поверхности на известняках пенченгинской свиты приурочены карстовые воронки, содержащие бокситы (р. Мал. Гурахта за пределами района). Возраст этих отложений предположительно считается палеоцен-эоценовым (Лапин, 1940ф).

Контуры и облик долин современной гидросети определены относительно недавним (последтретичным?) врезанием. Золотосодержащие отложения этого периода сохранились в виде речных террас по долинам рек. Это наиболее важный в истории золотоносности этап развития рельефа.

## ПОЛЕЗНЫЕ ИСКОПАЕМЫЕ

Основным полезным ископаемым изученного района является золото как рудное, так и россыпное. Из рудных месторождений в настоящее время эксплуатируется только "Советское", остальные законсервированы из-за недостаточной степени разведанности или из-за сложных горно-технических условий эксплуатации. Россыпное золото добывается драгами по долинам рек Дыдан, Коломи и Дюбокш. Промышленные концентрации других полезных ископаемых на площади листа неизвестны, имеютсяrudопроявления берилло-литиевое и полиметаллические, боросиликаты и строительные материалы.

### МЕТАЛЛИЧЕСКИЕ ИСКОПАЕМЫЕ

#### Цветные металлы

#### Полиметаллические руды

Григорьевское рудопроявление (8) расположено на водоразделе руч. Григорьевского и Безымянки, в 2 км на северо-восток от золоторудного месторождения Советского. Выявлено оно в 1957 г. поисковой партией Северо-Енисейского приискового управления. Горными выработками вскрыта крупная зона дробления, располагающаяся вдоль контакта диабазов с отложениями кординской и удерейской свит. Рудные тела представлены кварцевыми жилами и метасоматическими кварцитами. Кварцевые жилы маломощные (0,1-1,0 м), линзообразные, по простианию навыдержаные.

Рудные минералы представлены галенитом, халькопиритом, купритом, церусситом, малахитом, азуритом, ковеллином, лимонитом, серебром, золотом. В единичных штуфных пробах установлено содержание меди - 0,04-1,6, свинца - 4,55-21,2, цинка - 0,67-0,72%, серебра - 430 г/т (самые богатые пробы - 3829 г/т), золота от следов до 5,8 г/т. Для окончательной оценки рудопроявления необходима установка буровых работ (Сверкунова, Пешин, 1962 ф).

Рудопроявление ручья Ветвистого (14) расположено на левом склоне долины руч. Ветвистого, на восточном склоне высоты 498,0 выявлено в 1970 г. (Ольшанский и др., 1961 ф). Одна проба кварца, взятая из делювия, показала содержание свинца - 1,0, серебра - 0,003, меди - 0,05%. Пробирный анализ этой пробы показал содержание серебра - 10 г/т. Рудопроявление представляет минералогический интерес.

Черемшанскоe рудопроявление свинца (3) расположено в среднем течении руч. Черемшанного на правом склоне долины, выявлено в 1964 г. (Вызу и др., 1964 ф). Приурочено оно к зоне нарушения. Рудная минерализация связана с кварцевыми и кварцево-карбонатной жилами. Одна жила с зоной вкрапленностью галенита мощностью 1,1 м вскрыта канавой. Спектральным анализом штуфных проб установлено содержание меди - 0,02-0,05, свинца - 0,02-1,0, цинка - 0,2-1,0, серебра - 0,003, хрома - 0,01, ванадия - 0,03%. Рудопроявление представляет минералогический интерес.

### Благородные металлы

#### Золото

Александрово-Агзевское месторождение (30) расположено на водоразделе ручьев Николаевского и Федоровского (правые притоки р. Дыдан). Открыто оно в 1858 г. В прошлом месторождение эксплуатировалось открытыми разрезами старательскими артелями. Всего добыто - 186,6 кг золота. Золотосодержащие кварцевые жилы залегают в толще хлоритовых и биотитовых роговиков, перемежающихся с пластами плотных кварцитов. На месторождении выделены крутопадающие жилы северо-западного простирия (падение на северо-восток) и пологопадающие (секущие) жилы северо-восточного простирия (падение на юго-восток). Мощность жил от 0,3 до 3,0 м. Распределение золота в жилах крайне неравномерное и колеблется от следов до 84,5 г/т.

По данным Северо-Енисейского приискового управления на месторождении числятся запасы утвержденные ВКЗ 28.УП.1987 г. по категориям A+B+C<sub>1</sub> в количестве - 180,5 кг (балансовые - 105,6 кг, забалансовые - 74,9 кг, C<sub>2</sub> - 211 кг).

Перспективы месторождения неясны, так как необходима доразведка на глубину скважинами колонкового бурения.

Рудопроявление "Албанские жилы" (33) расположено в нижнем течении руч. Албанского, правый приток р. Дыдан. Неоднократно разведывалось Северо-Енисейским приисковым управлением в 1928-1948 гг.

Рудопроявление представлено серией маломощных (от нескольких сантиметров до 1,5 м, одна жила мощностью 3,0 м) кварцевых жил. Кварцевые жилы расположены среди роговиков и кварцитов кординской свиты. Документация горных выработок и данные опробования не сохранились.

Рудопроявление "Буян" (26) расположено на водоразделе ручьев Буйновского и Чубоком. В 1938г. оно изучалось Т.М. Дембо и в 1948г. В.А. Миловской.

Вмещающими кварцевые жилы породами являются биотитово-кварцевые сланцы и кварциты кординской свиты. На рудопроявлении было пройдено около двух десятков канав и два разреза, которыми был вскрыт ряд золотоносных кварцевых жил с высоким содержанием золота в отдельных пробах (84, Ог/т). Кварцевые жилы северо-западного простирания мощностью от 0,1 до 0,9м. Александро-Агеевской партией Ангарской ГРЭ в 1961г. горными и буровыми работами вскрыты еще 24 кварцевые жилы мощностью от 0,1 до 1,0м и с содержанием золота от следов до 2,0г/т (Романов и др., 1962ф).

Александро-Агеевское месторождение и рудопроявления "Буян" и "Албанские жилы" самостоятельного промышленного значения не имеют.

Месторождение "Вершина" (41) расположено на водоразделе руч. Вершинки и р. Дыдан (IV-I); разведывалось Северо-Енисейской партией треста "Золоторазведка" в 1948г.

Месторождение представлено серией параллельных маломощных кварцевых жил и прожилков (0,1-0,6м) среди гофрированных и тонко-рассланцованных гранато-слюдистых сланцев горбильской свиты. Содержание золота в пробах от 0,8 до 66г/т, одна пробы показала содержание - 1283,2г/т. В.А. Миловской (1948) был проведен подсчет запасов по трем жилам по категории  $C_2$  в количестве - 63,4кг.

В 1961г. на площади месторождения велись поисковые работы (Ольшанский и др., 1962ф). Результаты работ подтверждают присутствие золотого оруденения. Месторождение на данной стадии изученности не является промышленным. Но для окончательной оценки месторождения необходимо проведение значительных объемов горных и буровых работ.

Рудопроявление "Заявка 14" (16) расположено на левом склоне долины р. Огни выше устья руч. Безымянного и представляет серию сближенных, ветвящихся и одиночных кварцевых жил (0,5-6м), залегающих среди плойчатых, перемятых и трещиноватых филлитизированных глинистых сланцев нижнеудерейской подсвиты.

В 1938г. партией "Нигризолото" был опробован северо-западный участок рудопроявления. Из отобранных 274 проб только 11 показали содержание золота выше 1г/т. По данным Т.М. Дембо (1938ф) больший интерес представляет юго-восточный участок рудопроявления, где среднеарифметическое содержание золота по 93 пробам составляло около 4г/т.

Для решения вопроса о перспективности рудопроявления необходима постановка детальных работ с значительными объемами горных и буровых работ.

Рудопроявление Огни - Потаряевское (17) расположено на водоразделе р. Огни и руч. Агриппининского, в 12км на юго-восток от Советского рудника. Поисковые работы стали проводиться с 1936г. Северо-Енисейским приисковым управлением. Вскрыто свыше 100 кварцевых жил, часть которых является золотоносными. Все жилы имеют северо-западное простирание и падение на северо-восток, по простиранию и мощности не выдержаны, залегают среди филлитов нижнеудерейской подсвиты.

В 1959г. с участка рудопроявления отобрано 50 штуковых и бороздовых проб, из которых 27 показали содержание золота от следов до 48г/т (Ю.В. Ольшанский и др., 1960ф). Горными выработками вскрыто ряд кварцевых жил с содержанием золота до 4г/т и серебра до 4,6г/т.

Для оценки рудопроявления и прослеживания золотоносных кварцевых жил на глубину, необходимы буровые работы в значительных объемах.

Месторождение Ольгинское (58) расположено в вершине руч. Ольгинского на водоразделе с руч. Николаевским. Месторождение непромышленное, выявлено работами Северо-Енисейской геологоразведочной партии (Миловская и др., 1949ф). На месторождении выделяется пять отдельных групп жил среди серицито-хлоритовых сланцев горбильской свиты. Кварцевые жилы имеют форму линз длиной от нескольких сантиметров до 2,0-2,5м и мощностью от 0,2 до 0,8м.

В геолого-структурном отношении кварцевые жилы расположены на восточном крыле крупной синклинальной складки в непосредственной близости к зоне разрывного нарушения (простирание жил северо-западное - 320-340°, падение на северо-восток под углом - 60-70°).

Рудные минералы представлены арсенопиритом, пиритом, халькопиритом, галенитом, сфалеритом, золотом. Содержание золота по данным В.А. Миловской (1949ф) для большинства жил - граммы, десятые доли грамма, следы. Имеются участки жил, где пробы показывают содержание золота до 182г/т. Отдельные обломки кварца весом 5-15кг, найденные в делювии, показали содержание золота около 10кг/т. По некоторым жилам был произведен подсчет запасов золота по категории  $C_2$  - 77,1кг (Дубинин, Шахова, 1958ф).

Месторождение на глубину не изучено. Для окончательной оценки месторождения необходима проходка глубоких горных выработок и скважин колонкового бурения.

Месторождение Первениц (46) расположено на левом берегу руч. Безымянки (правый приток р. Севагликон, в 1км выше устья).

Месторождение открыто старателями в 1892г. при разработке аллювиальной россыпи. Оно представляет кварцево-сульфидную жилу сложной формы, залегающую среди кварцево-хлоритовых сланцев горбилокской свиты. Горными работами разных лет в 200м от основной жилы на юго-запад вскрыты еще две жилы сложной формы мощностью до 0,7м. Восточная жила содержала повышенное количество арсенопирита и золота и в большей мере подвергалась разработке.

Рудные минералы месторождения представлены арсенопиритом, халькопиритом, золотом. Сульфиды месторождения сосредоточены на контакте кварцевых жил со сланцами или вблизи жил. Содержание золота в отдельных пробах до 12г/т. За годы разведки и эксплуатации было добыто - 26,1кг золота. На 1.1.1957г. на месторождении числились забалансовые запасы золота по категориям А+В+С<sub>I</sub> - 1147,6кг, по категории С<sub>2</sub> - 1125,0кг.

В 1944г. месторождение законсервировано как нерентабельное. Имеющиеся данные свидетельствуют о необходимости постановки разведочных работ на месторождении.

Месторождение Пролетарское (42) расположено в 0,5км южнее высоты 683,6 в верховьях р. Дыдан. Месторождение открыто в 1886г. Разведочные работы велись в разные годы (от 1886 до 1940гг.). На участке горы Пролетарской вскрыты три кварцевые жилы мощностью от 0,3м до 2,0м, залегающие согласно с вмещающими их филлитами удерейской свиты (аз.пад. 35-40°, угол падения 70-80°).

Рудные минералы представлены арсенопиритом, пиритом, сфалеритом, галенитом, халькопиритом, пирротином, золотом, ковеллином, халькоzinом. Сульфиды наблюдаются как в кварцевых жилах, так и на контакте их с вмещающими породами. В единичных штуфных пробах установлено содержание золота до 30г/т.

Месторождение (жилы I, гора Пролетарская) стало отрабатываться открытым способом с 1931 года. К 1941г. верхняя часть жилы отработана до горизонта 110м, во время Великой Отечественной войны месторождение законсервировано ввиду сложности горно-технических условий эксплуатации. За период эксплуатации и разведки добыто - 966,7кг золота. Запасы месторождения на 1.1.1957г. по категориям А+В+С<sub>I</sub> - 668,6кг золота, С<sub>2</sub> - 572,4кг, в том числе балансовых запасов соответственно - 561,2кг и 503,9кг.

Месторождение Советское (9) расположено на правом склоне долины руч. Безымянки (правый приток р. Огни) на площади развития филлитизированных глинистых сланцев нижнеудерейской подсвиты. Месторождение состоит из четырех рудных зон, которые представлены многочисленными золотоносными кварцевыми жилами. Открыто в 1906г. и эксплуатируется с 1907г. по настоящее время.

Кварцевые жилы сложены молочно-белым или серым кварцем, рудные минералы представлены пиритом, арсенопиритом, галенитом и золотом. Золото наблюдается как самородное, так и в ассоциации с сульфидами. Содержание золота в жилах крайне неравномерное и колеблется от следов до 1000г/т. Кварцевые жилы имеют сложное строение, часто встречаются пережимы (5-10см) и раздувы (до 12-15м). Простирание их северо-западное с падением на северо-восток. Контакты с вмещающими породами резкие. Часто в жилах наблюдаются ксенолиты вмещающих пород. Жилы или рудные зоны связаны с главной зоной дробления северо-западного простирания, имеющей падение на юго-запад. Месторождение крупное, эксплуатация его ведется до горизонта 240м.

Месторождение Эльдорадо (56) расположено на водоразделе рек Автолика и Севагликона. Оно известно с 1883г. и разрабатывалось с перерывами с 1886 по 1956гг. За это время добыто 824,4кг золота. Месторождение расположено в 1,5км восточнее крупного нарушения северо-западного простирания. Кроме этого нарушения на площади месторождения известно множество более мелких нарушений того же направления, с которыми и связаны золотоносные кварцевые жилы. Вмещающими кварцевые жилы породами являются серicitо-хлоритовые сланцы горбилокской свиты. Кварцевые жилы и линзы группируются в пачки кварцевых жил или жильные зоны, располагающиеся кулисообразно по отношению друг к другу. Известны четыре такие зоны, 70-75% всех запасов месторождения сосредоточены в первой северо-западной зоне.

В пределах рудных зон сульфиды встречаются, главным образом, вблизи залежей жил в сланцах, реже в кварце. Содержание золота на всю массу (кварц + сланцы) по всем зонам от 1,0 до 14,8г/т. Жилы и сланцы обогащены арсенопиритом.

С 1961г. на месторождении проводятся геологоразведочные работы (Аверченков, Гуликова, 1963г.). По предварительным данным прогнозные запасы оцениваются в 80 тонн металла на всю массу породы при среднем содержании золота 4г/т.

Месторождение Ударное (44) расположено на водоразделе ручьев Магдалинского и Святодуховского (правые притоки р. Севагликон). Оно состоит из серии ветвящихся и быстро вык-

линивающихся кварцевых жил, залегающих согласно с вмещающими сланцами горбилокской свиты, имеют северо-западное простирание и почти вертикальное падение. Для жил месторождения характерна ветвистость, непостоянство мощностей и незначительная длина по простиранию.

рудные минералы представлены арсенопиритом, халькопиритом, сфалеритом, галенитом и золотом. Сульфиды развиты в кварцевых жилах и во вмещающих породах. Иногда вмещающие породы настолько насыщены арсенопиритом, что могут служить рудой на мышьяк. Золото в жилах распределено неравномерно. Данные о среднем содержании и количестве добываемого металла отсутствуют. Для оценки месторождения требуется проведение тяжелых горных и буровых работ.

## Россыпное золото +/

Россыпное золото на площади листа добывалось и добывается по рекам Коломи, Енашимо, Вангаш, Дыдан, Оллонокон, Огня и их притокам. Россыпные месторождения располагаются вблизи рудных месторождений и находятся в тесной связи с ними. По морфологии, генезису и возрасту все россыпные месторождения в пределах площади листа относятся к руслово-долинному и увальному типам четвертичного возраста. В настоящее время большинство россыпей считается отработанными, но некоторые из них могут служить объектами для дражной добычи.

Бассейн р. Ванганша. Река Автолик (59) является одним из самых богатых золотом правых притоков р. Ванганша. Россыпь распространена узкой полосой - 170-260м вдоль долины реки. В средней, наиболее богатой золотом, части долины содержание золота достигало - 400г/т. Самое крупное золото - в левой вершине реки, где при эксплуатации россыпи встречались самородки весом до - 12,8г. Всего добыто за годы эксплуатации (с 1841г.) - 45III,1кг золота. Балансовые заласы на I.I.1958г. по категориям A+B+C<sub>1</sub> составляют - 464,4кг. золота. Россыпь отработана мускульным способом, а старые отвалы многократно перемыты. В настоящее время россыпь может служить объектом для дражного вида добычи в средней и нижней части долины.

Ручей Безымянный (63) левый приток р. Вангаша. Всего добыто - 183,6кг золота. Геологические запасы на 1.1.1958г. составляют - 43кг.

+/- запасы россыпного золота даются по материалам Н.Г. Дубинина и И.В. Шаховой, 1958.

Река Ванга (53) Наиболее богатая золотом россыпь была расположена ниже устья р. Автолика. На этом участке за весь период эксплуатации добыто более 14,5 тонн золота. Всего добыто за годы эксплуатации (1842-1955 гг.) - 21767,1 кг золота. Балансовые запасы на 1.1.1958 г. по категориям А+В+С<sub>1</sub> составляют - 2410,9 кг золота. Выше устья р. Автолика россыпь непромышленная.

Лидинский увал (62) расположен на правом склоне долины р. Вангаш между ручьями Оллоноконом (Ниж. Волокон) и Безымянным (Емчинкиным). Выявлен в 1945-1949 гг. Всего добыто 1,1 кг золота. Балансовые и геологические запасы по категориям А+В+С<sub>I</sub> составляют - 149,8 кг золота.

Ручей Ольгинский (60) с правым её притоком. Экс-  
плуатировалась с 1841г. Всего добыто - 4321,1кг золота. Рассыпь  
отработана.

Бассейн р. Дыдан. Ручей Вершинка (39) является наиболее золотоносным притоком р. Дыдан. Всего добыто - 792,0кг золота (1842-1898гг.) Россыпь мускульным способом отработана, для механической добычи нерентабельна из-за недостатка воды.

Река Дыдан (38) широким развитием пользуются увальные россыпи. В прошлом более обогащенные участки долинных и увальных россыпей эксплуатировались старательями (1844-1917 гг.).

По данным В.М. Внуковского (1906г.) мощность рыхлых отложений на отработанных участках составляла 12м при мощности золотоносного пласта 3м. Содержание золота в россыпи неравномерное — носит гнездовой характер. Самые крупные золотинки имели вес от 214 до 677мг (найдены все в верховьях р. Дыдан). Всего по р. Дыдан добыто (с юрьевыми россыпями) — 6995,8кг золота. В результате геологоразведочных работ Северо-Енисейского промышленного управления (1948—1959гг.) подсчитаны запасы в количестве — 2444,0кг золота (балансовые, по категории B+C<sub>1</sub>). Забалансовые запасы в количестве — 372,0кг (по категориям B+C). Россыпь отрабатывается электрической драгой.

Ручей Никольский (28) правый приток р. Дыдан. Мощность рыхлых отложений составляла - 3,5м, при мощности золотоносного пласта - 1,8м. Всего добыто - 821,5кг золота. Россынь отработана.

Ручей Федоровский (З) правый приток р. Дыдан. Всего добыто - 40,6кг золота. Россыль отработана.

Левый увал (32) расположен на левом склоне долины р. Дыдан от устья ручья Албанского до ручья Александро-Агеевского.

По данным И.А. Молчанова (1932г) мощность рыхлых отложений в среднем составляла 15м при мощности золотоносного пласта 2м. Всего добыто - 4,6кг золота.

Борисовский разрез (35). На левом склоне р. Дыдан против устья ручья Камаргахты расположена увальная россыль, которая отрабатывалась открытыми разрезами (наиболее крупные Борисовский и Ожидаемый). Мощность рыхлых отложений до 15м, золотоносного пласта до 3,3м. Среднее содержание золота в Борисовском разрезе составляло - 2,2г/т.

Месторождение прииска "Плато" (29) расположено на плоской возвышенности водораздела р. Дыдан и ручья Никольского. Средняя мощность рыхлых отложений около 9м при мощности золотоносного пласта - 1,7-2,1м. Всего добыто - 201,4кг золота (1840-1842гг.).

Бассейн р. Дюбкош. Ручей Агринийинский (21) является правым притоком р. Дюбкош. По данным И.А. Молчанова (1932г) мощность рыхлых отложений от 5,6 до 11,2м при средней мощности золотоносного пласта - 1,4-2,8м. Всего добыто - 1768,0кг золота. Россынь отработана.

Ручей Буяновский (27) левый приток р. Дюбкош. Всего добыто - 1952,6кг золота. Россынь отработана мускульным способом (1855-1900гг.).

Дюбкошский дражный полигон (24) охватывает среднее и нижнее течение р. Дюбкош. Мощность рыхлых отложений в среднем составляет 12м, мощность золотоносного пласта 2,5м. За годы эксплуатации (1859-1891, 1951-1958гг.) добыто - 6245,8кг золота. В 1958г. подсчитаны и утверждены запасы в количестве - 108,0кг (балансовые) и 272,0кг (забалансовые) по категориям В+С<sub>I</sub>. В настоящее время месторождение эксплуатируется паровой драгой.

Ручей Успенский (20) правый приток р. Дюбкош. Всего добыто - 529,2кг золота (1858-1900гг.).

Ручей Чубкош (25) левый приток р. Дюбкош. Всего добыто - 499,4кг золота (1871-1878гг.). Россынь отработана.

Россынь р. Енашимо. Верхне-Енашинский дражный полигон (47) представлен на площади незначительной частью россыпи (участок длиной в 5,0км) Всего добыто за годы эксплуатации (1854-1917, 1928-1958гг.) - 2327,1кг золота. Геологические запасы на I.I.1958г составляли - 1247,3кг, в том числе балансовых запасов - 864,8кг. Отрабатывается за пределами района драгами.

Река Мал. Гурехта (49) правый приток р. Енаши-мо. Всего добыто - 2,1кг золота (1861-1871гг.).

Бассейн р. Иочимо. Река Иочимо (1) золотоносна в нижнем течении. Всего добыто - 369,9кг золота (до революции). Геологические и балансовые запасы по состоянию на I.I.1958г. составляют по категориям А+В+С<sub>I</sub> - 292,9кг.

Река Кото (2) левый приток р. Иочимо. Всего добыто - 1361кг золота (1887-1941гг.). Геологические и балансовые запасы на I.I.1958г. составляют - 65кг золота.

Бассейн р. Коломи, Ручей Бугарихта (50) левый приток р. Коломи. Слабо золотоносная россынь расположена в нижнем течении ручья. Отработана мелкими старательскими артелями.

Ручей Ивановский (37) правый приток р. Коломи в 1938-1948гг. добыто - 196кг золота. Геологические и балансовые запасы на I.I.1958г. составляют по категориям А+В+С<sub>I</sub> - 69,8кг золота.

Река Коломи (61) является одной из самых богатых золотом во всем Енисейском крае. Мощность рыхлых отложений россыпи выдержана на всем протяжении и составляет - 3,5-6,0м при мощности золотоносного пласта от 0,7 до 2,0м. Золото распределено в россыпи неравномерно. Среднее содержание колеблется от 241 до 534г/м<sup>3</sup>.

Россынь известна с 1840г. За годы эксплуатации (1840-1957гг.) всего добыто - 44534кг золота. Геологические запасы на I.I.1958г. составляют по категориям В+С<sub>I</sub> - 296кг (балансовые) и 29кг (забалансовые). Россынь отрабатывается электрической драгой.

Ручей Кузнецкий (40) правый приток р. Коломи. Россынь отработана мелкими старательскими артелями (до революции). Всего добыто - 110,6кг золота.

Ручей Николаевский (51) правый приток р. Коломи. Мощность рыхлых отложений по данным И.А. Молчанова (1932г) составляет 2-3м при мощности золотоносного пласта 1,8м. Среднее содержание золота составляло около 14г/м<sup>3</sup>. Россынь отработана мускульным способом. Всего добыто - 6663,6кг золота.

Увальная россынь (36) расположена на левом склоне долины р. Коломи. Геологические запасы по состоянию на I.I.1958г. составляют по категориям А+В+С<sub>I</sub> - 26,1кг золота.

Бассейн р. Немунь. Ручей Буяновка (13) левый приток р. Немунь. Всего добыто 11кг золота (1869-1900гг.).

Ручей Дулижмо (22) левый приток р. Немунь. Россынь охватывает среднее и нижнее течение ручья. Разведывалась в 1869-

1900гг. Эксплуатационные данные отсутствуют. Рассыпь отработана.

Ручей Потеряевка (18) левый приток р. Немунь.

Всего добыто - 294кг золота. Рассыпь отработана.

Бассейн р. Огни. Ручей Базымянка (10) правый приток р. Огни. За годы эксплуатации (1846-1907гг.) добыто - 474,2кг золота. Рассыпь отработана.

Река Огня (12) в прошлом была богатой золотом. Мощность рыхлых отложений около 8м при мощности золотоносного пласта - 1,2-2,4м. Распределение золота в россыпи неравномерное как по простирианию, так и по вертикали. При эксплуатации россыпи попадались самородки весом от 400 до 2000г. Рассыпь эксплуатировалась с 1845г. За годы эксплуатации (1846-1943гг.) было добыто - 23223,5кг золота. Запасы золота в россыпи на 1.1.1957г. по категориям С<sub>1</sub>+С<sub>2</sub> составляют - 1892,5кг и 68,7кг (забалансовые).

Ручей Татьянинский (II) правый приток р. Огни. В 1852-1900гг. добыто - 293кг золота. Рассыпь отработана.

Бассейн р. Олонокон. Ручей Григорьевский (4) левый приток р. Олонокона. В россыпи встречались самородки весом до 100г. Всего добыто - 1656,5кг золота (1842-1987, 1947-1948гг.). Рассыпь отработана.

Ручей Гороховский (6) левый приток р. Олонокона. За годы эксплуатации (1844, 1900, 1950гг.) всего добыто - 551,3кг золота. Рассыпь отработана.

Река Олонокон (7) разведывалась перерывами (1845-1900, 1950, 1955-1957гг.). Золото в россыпи распределено неравномерно. Всего добыто - 3738,4кг золота. Запасы на 1.1.1958г. составляют по категориям А+В+С<sub>1</sub> - 575,4кг золота.

Бассейн р. Севагликон. Ручей Базымянка (52) правый приток р. Севагликона. Всего добыто за годы эксплуатации (1900-1927гг.) - 800кг золота. Рассыпь отработана.

Ручей Даниловский (57) левый приток р. Севагликона. Мощность рыхлых отложений составляла - 7,0-8,0м при мощности золотоносного пласта 1,8-2,5м. Среднее содержание золота за весь период эксплуатации составляло - 2,44г/м<sup>3</sup>. За годы эксплуатации (1900-1927гг.) добыто - 10387,1кг золота. Рассыпь отработана.

Ручей Магдлинский (43) правый приток р. Севагликона. Наиболее золотоносной является нижняя часть долины. Мощность рыхлых отложений составляла 3,0-4,0м, мощность золотоносного пласта не превышала 0,7-1,5м, среднее содержание золота в россыпи составляло - 3,18г/м<sup>3</sup>. Всего добыто - 3863,1кг золота (1900-1937гг.). Рассыпь отработана.

Река Севагликон (54) является самой богатой золотом в Енисейском кряже. Интенсивная разработка россыпи относится к началу возникновения золотодобычи в Северо-Енисейской тайге (1845-1860гг.). Поэтому данные о характере и условиях разработки россыпи р. Севагликон крайне скучны. Рассыпь была отработана мускульным способом. Всего добыто за годы эксплуатации - 40743,8кг золота. В настоящее время россыпь может служить объектом для дражной добычи. В нижнем течении р. Севагликона в 1964г. на участке протяженностью 6,0км подсчитаны запасы - 356,6кг при среднем содержании золота 181мг/м<sup>3</sup>.

Ручей Святодуховский (45) правый приток р. Севагликона. Наиболее обогащенной золотом являлась нижняя часть долины. Среднее содержание золота составляло - 8,6г/м<sup>3</sup>. Всего добыто за годы эксплуатации - 1900-1927гг.) - 3752,9кг золота. Рассыпь отработана.

Некогда очень богатые золотом россыпи Северо-Енисейской тайги к настоящему времени в большинстве отработаны. Добыча россыпного золота возможна только дражным или гидравлическим способом путем перамывки уже отработанных в прошлом мускульным способом россыпей. Некоторый прирост запасов возможен за счет дораэзведки террасовых и уvalльных россыпей (работы в этом направлении уже ведутся), а также выявления оставшихся целиков.

## Редкие металлы

### Бериллий - литий

Енашиминское берилло-литиевое рудопроявление (48) расположено на правом склоне долины р. Енашимо, в 3-х км на северо-запад от пос. Верх. Енашимо. Приурочено оно к крупной тектонически ослабленной зоне северо-западного простириания среди кристаллических сланцев и карбонатно-фиброзных пород пинчангинской свиты. Открыто С.Г. Файзулиным в 1937г. и описано как рудопроявление олова. В 1938г. К.М. Неделяевым при производстве поисковых работ выявлено II пегматитовых жил с редкометальным оруднением. С 1956г. рудопроявление детально изучалось рядом исследователей: И.И. Гетманским, Е.И. Собельманом, З.Г. Карабовой (Ольшанский и др., 1961г.).

Минеральный состав пегматитов сложный и своеобразный. По данным А.И. Гинзбурга (1956) на рудопроявлении насчитывается около 43 различных минералов. Основными рудными минералами являются

берилл, лепидолит, колумбит-танталит и кассiterит. Остальные рудные минералы (арсенопирит, пирротин, уранинит) присутствуют в незначительном количестве и представляют лишь минералогический интерес. На основании проведенных разведочных работ на рудопроявлениях И.И. Гетманским был произведен по 10 жилам подсчет запасов  $\text{Li}_2\text{O}$  - 680,  $\text{Be}_2\text{O}$  - 25т,  $\text{Ta}_{2\text{O}_5}$  - 3т,  $\text{Nb}_{2\text{O}_5}$  - 11т. Рудопроявление промышленного интереса не представляет.

#### Редкие земли

Иочиминское рудопроявление (15) представлено россыпью монацита в среднем течении р. Иочимо и по некоторым её притокам. Выявлено в 1962-1964 гг. А.И. Визу. Содержание монацита в россыпи по отдельным пробам достигает 700г/м<sup>3</sup>. В целом россыпь непромышленна.

#### НЕМЕТАЛЛИЧЕСКИЕ ИСКОЛАБНЫЕ

#### Химическое сырье

#### Боросиликаты

Григорьевское рудопроявление бора (5) расположено на правом склоне долины ручья Григорьевского в приусадебной части, среди отложений кординской свиты. Оно сложено маломощными кварцево-карбонатными жилами со значительными скоплениями аксинита. Рудопроявление представляет лишь минералогический интерес.

#### СТРОИТЕЛЬНЫЕ МАТЕРИАЛЫ

В качестве местных строительных материалов используются карбонатные породы, песчаники, галечно-гравийные образования и граниты. Испытания физических и механических свойств песчаников и доломитов проводились в Красноярской лаборатории строительных материалов по заказу Северо-Енисейского приискового управления, которое производит строительство как промышленных, так и жилых объектов.

#### Изваренные породы

##### Граниты

Граниты (34) развиты в бассейне р. Коломы и используются в качестве бутового камня при строительстве производственных зданий. Монолитные разности, возможно, могут быть использованы в качестве облицовочного материала. Прогнозные запасы гранитов при глубине подсчета 10м составляют 32млн.м<sup>3</sup>.

#### Карбонатные породы

##### Доломит

Для обжига на известь в районе используются доломиты и доломитизированные известняки нижнего кембрия, которые прослеживаются в виде полосы шириной - 700-800м от р. Дюбкож через руч. Успенский в северо-западном направлении (19).

Химический состав доломитов по трем пробам следующий: окись кальция - 30,1-30,6; окись магния - 21,3-22,6; окись кремния - 0,002-0,61; сумма двуокиси алюминия и железа - 0,88-1,40%; п.п.п. - 44,2-46,9; гидровлага - 0,1-1,96; нерастворимый остаток - 0,1-0,4%.

Ориентировочные запасы вышеуказанных доломитов при глубине подсчета 10м составляют - 26,8млн.м<sup>3</sup>. Они могут добываться открытым способом.

Известняки и известково-глинистые породы сосновской свиты, как возможные строительные материалы, не изучены, но исходя из самых общих требований вряд ли могут быть использованы в качестве строиматериалов. Кембрийские известняки на северо-востоке района изучению также не подвергались.

#### Обломочные породы

##### Песчаник

Среди отложений нижнего кембрия широко развиты красноцветные песчаники, которые используются в районе для различных строительных целей. В небольшом количестве добыча производится из карьера, расположенного на правом склоне долины р. Чубкош в нижнем её течении (25). Механические свойства этих песчаников следующие: вре-

менное сопротивление сжатию в сухом состоянии -  $915\text{кг}/\text{см}^2$ , при минимальном значении -  $407,5$ ; максимальном -  $1555,4\text{кг}/\text{см}^2$ , в состоянии насыщенности водой минимальное -  $274,9$ ; максимальное -  $371,1\text{кг}/\text{см}^2$ . Износ в барабане Девалия -  $11,4$ .

Прогнозные запасы при глубине подсчета 10м составляют -  $18,5\text{млн.м}^3$ .

Белые сахаровидные кварциты и кварцитовидные песчаники погорской свиты на водоразделе рек Корды и Вангаша (64) по своим механическим и физическим качествам могут быть использованы в качестве бутового и строительного материала.

#### Галька и гравий

В качестве балласта при строительстве дорог в районе широко используются галечно-гравийные образования, остающиеся после отработки россыпей драгами по долинам рек Коломи, Дюбокш, Оллоно-кон, Енашимо, Вангаш.

#### ДРАГОЦЕННЫЕ КАМНИ

Енадиминское проявление (48) берилла и турмалина описано выше как берилло-литиевое рудопроявление. В пегматитовых жилах кроме рудных минералов имеются кристаллы берилла, черного, зеленого и розового турмалина.

#### ОБЩАЯ ОЦЕНКА ПЕРСПЕКТИВ РАЙОНА

Площадь листа Р-46-XXXIУ в металлометрическом отношении можно разделить на четыре района: западный - бассейн рек Коломи, Немуни, Огни, Кото и часть правых притоков р. Вангаша; центральный - бассейны верхнего течения рек Иочимо и Вангаша; юго-восточный - левые притоки р. Вангаша; северо-восточный - бассейны рек Корды и Оленчимо.

Северо-западный район является наиболее перспективным на полезные ископаемые и в первую очередь на золото. Как известно, все золоторудные месторождения Енисейского кряжа тяготеют пространственно к площадям развития гранитоидов татарско-аяхтинского комплекса. Как показывают многие геологические исследования начиная с XIX века, пространственная приуроченность золоторудных месторож-

дений к гранитоидам татарско-аяхтинского комплекса обусловлена их генетической связью. По времени образования золоторудные месторождения моложе самих гранитоидов и образование их связано с развитием гидротермальных процессов в последнюю стадию становления гранитоидов. Имеющийся на настоящее время фактический материал свидетельствует, что становление гранитоидов татарско-аяхтинского комплекса происходило до накопления осадков тасеевской серии. Но имеются также указания на нахождение кварцевых жил, по морфологическим и структурным особенностям аналогичных известным золотоносным жилам, и среди отложений тасеевской серии.

Благоприятная структурная обстановка, наличие уже известных месторождений золота, широкое развитие золотоносных россыпей и жильного кварца, соляные срезы рассеяния спутников золота позволяют предполагать возможность золотого оруденения в верховьях рек Потеряевки и Огни, и в бассейне р. Кото.

Центральный район перспективен на россыпи монацита и, как показали металлометрическое опробование и микрохимические анализы, на фосфориты среди отложений верхнеудерейской подсвиты. Состав этих пород аналогичен уже известным фосфоритоносным сланцам других районов Енисейского кряжа.

В юго-восточном районе возможно полиметаллическое оруденение по тектоническим зонам среди карбонатных отложений сосновской свиты (водораздел рек Бол. и Мал. Турмы).

Северо-восточный район является малоперспективным на полезные ископаемые. Единственным полезным ископаемым, поиски которого следует вести здесь, является медь (вкрапленность минералов меди часто наблюдается в известняках среднезененской подсвиты в районе устья р. Ильгидакита на площади около  $200\text{км}^2$ ). На некоторых участках содержание меди может достигать практически интересных количеств.

#### ПОДЗЕМНЫЕ ВОДЫ

Основным источником питания подземных вод являются атмосферные осадки. Вследствие низких среднегодовых температур ( $-3^{\circ}$ ) и сильной задернованности района, расход осадков на испарение сравнительно не велик. Атмосферные осадки в значительной степени расходуются на инфильтрацию в коренные породы.

В зависимости от литологического состава отложений, развитых в районе, а также от тектонических условий выделяется несколько

водоносных комплексов: четвертичных отложений; нижнепалеозойских отложений; верхнепротерозойских отложений; изверженных пород.

Водоносный комплекс четвертичных отложений приурочен к песчано-глинистым аллювиальным, торфянистым болотным и грубообломочным неотсортированным элювиально-делювиальным образованиям. Вода в этих отложениях вскрыта большим числом мелких выработок. Притоки в целом незначительны, лишь на заболоченных участках и в поймах речных долин приток может достигать нескольких л/сек. По условиям залегания и по характеру режима это типичная верховодка. К концу лета на склонах и водоразделах она сохраняется в тех местах, где имеются подстилающие водоупорные породы. В поймах долин уровня грунтовых вод имеют наименьшие колебания в течении года, хотя и отмечается некоторое падение их к осени. За счет вод элювиально-делювиальных образований питается широко развитая сеть неглубоких оврагов и ручьев. Иногда грунтовые воды подходят к поверхности совсем близко. Так, в верховьях третьего правого притока р. Иочимо на водоразделе в радиусе 1км распространено большое количество родников.

На склонах речных долин часто образуются временные родники, функционирующие ежегодно в периоды выпадения наибольшего количества дождей. Несколько таких родников известны у пос. Северо-Енисейский. Вода в источниках довольно чиста, дебит их 1-2 и 4л/сек, температура воды 2-3°С.

Грунтовые воды, приуроченные к элювиально-делювиальным накоплениям, а иногда и воды аллювия, лишены выдержанного водоупорного ложа и образуют с подстилающими трещиноватыми коренными породами единую водоносную зону.

По химическим свойствам воды рыхлых отложений довольно разнообразные. Это обуславливается неоднородностью литологического состава водоносных пород. Преобладают воды гидрокарбонатно-магниево-кальциевые или кальциево-натриевые. Минерализация невысокая до 100-150мг/л. Общая жесткость до 3-5°.

Водоносный комплекс нижнепалеозойских отложений, сложенных конгломератами, песчаниками, алевролитами, известняками и доломитами, распространен в северо-восточной части района. Трещиноватость водовмещающих пород развита в меньшей степени, а пористость в большей. Водоупором служат прослои плотных мергелей. В местах развития карбонатных отложений имеют место карстовые явления: воронки, сухие участки русел рек.

По условиям циркуляции подземные воды этого комплекса относят-

ся к типам пластовых трещинно-поровых и частично трещинно-карстовых. Горизонтальное или пологонаклонное залегание слоев обуславливает, в большинстве случаев, исходящий тип родников. Однако, на отдельных участках, встречаются восходящие источники различного дебита, приуроченные к подножию склонов. В долине р. Корды и её крупных притоков, имеют место пластовые выходы подземных вод на высоте 5-10м над уровнем воды, обуславливающие развитие оползней. Суммарный дебит пластовых выходов составляет 5-10л/сек. В зоне выветривания воды обычно гидрокарбонатные магниево-кальциевые с минерализацией до 300-500мг/л. В глубоких частях, откуда не выщелочены соли, они могут быть солоноватыми и иметь хлоридно-натриевый состав.

Водоносный комплекс верхнепротерозойских отложений пользуется наиболее широким распространением на территории района. Эти воды характерны для трещиноватых отложений кординской, горбилокской, удерейской, погорюйской и сосновской свит. Водовмещающими породами являются филлиты, алевролиты, известняки, хлорито-кварцевые, известково-глинистые, алеврито-глинистые и глинистые сланцы.

В верхней наиболее трещиноватой зоне подземные воды этого комплекса относятся к типу трещиноватых вод. Глубина обводненности пород, судя по результатам исследования в шахтах и рудниках, не превышает - 100-150м на водоизделах и - 50-80м в речных долинах. На большую глубину воды распространяются лишь на локально-трещиноватых участках (разрывные нарушения, зоны дробления и т.д.). Сюда можно отнести воды в подземных выработках Советского рудника, где водоносные зоны дробления прослеживаются до глубины более 250м.

При изучении условий распространения трещинных вод по Советскому руднику (Заварзин, 1958) установлено, что между трещинными водами различных горизонтов рудника и поверхностными водами р. Бэзымянки существует гидравлическая связь. В частности, в период весеннего снеготаяния в руднике отмечается усиленный приток подземных вод. Среднегодовой приток в рудник, по данным на 1961г составляет - 364,7м<sup>3</sup>/час. По гидродинамическим свойствам воды протерозойских отложений в зоне выветривания безнапорны.

Химический состав вод метаморфизованных пород верхнего протерозоя в значительной мере определяется химической инертностью пород. Реакция вод в большинстве случаев слабо кислая, иногда нейтральная. На участках развития карбонатных пород отмечается увеличение pH до 7,2-7,7, повышается и общая жесткость.

Водоносный комплекс извреженных пород. Воды этого комплекса приурочены к зоне выветривания пород Каламинского гранитного массива и редких тряповых тел и даек на северо-востоке района и относятся к типу трещинных вод.

По химическому составу воды гидрокарбонатно-кальциевые с минерализацией до 100 мг/л. По физическим свойствам воды приятные на вкус, прозрачные, без цвета и запаха. В большинстве своем воды обладают слабокислой реакцией ( $\text{pH}=6,2-6,7$ ) и не несут органических примесей. Общая жесткость колеблется от 1,4 до 3,34 н.град.

У пос. Ново-Каламинский известны два радионовых родника (Лейбович, 1956) с концентрацией до 2500 эман. дебит этих источников от десятых долей до 5 л/сек.

## ЛИТЕРАТУРА

### Опубликованная

Гинзбург А.И. Геологическая и минералого-геохимическая характеристика пегматитов Енисиминского месторождения, 1956. Мин. муз. АН СССР.

Гоньшакова В.И. Трапповый магматизм и магнетитовое залегание юго-восточной части Сибирской платформы. Труды ИГЕМ АН СССР, вып. 6, 1961.

Горностаев Н.Н. О перспективах развития золоторудной промышленности в Енисейском крае (геологические предпосылки). Тр. Золоторазведка и НИГРИЗолото, вып. 3, 1936.

Горяинова О.П., Лунгерсгаузен Г.Ф. Государственная геологическая карта СССР масштаба 1:1000 000. Объяснительная записка к листу Р-46 (Северо-Енисейский), 1954.

Гофман Э.О. О золотых промыслах Восточной Сибири. Горный журнал, т. IV, № II, кг. I, 1844.

Дембо Т.М. Гурахтинские и Каламинские граниты Северо-Енисейской тайги. Сов. геология № 32, 1948.

Кирichenko Г.И. Геологическая карта Енисейского края масштаба 1:500 000. Объяснительная записка. Москва, Госгеолтехиздат, 1960.

Лурье М.Л., Массайтис В.Л., Полунина Л.А. Трапповые интрузивные комплексы и фазы магматизма западной части Сибирской платформы. Сб. мат. по геол. Красноярского края, Госгеолтехиздат, 1960.

Майстер А.К. Горные породы и условия золотоносности южной части Енисейского округа. Геол. исслед. в золотоносных областях Сибири. Енисейский золотоносный район. Вып. IX, 1910.

Николаев И.Г. Геологические исследования в северо-западной части Северо-Енисейского горного округа, проведенные в 1921-1923 гг. Изв. ЗГО, т. IV, 1925.

Обручев В.А. Геологический обзор золотоносных районов Сибири. Часть II, вып. II, Средняя Сибирь, вып. 2, Енисейская обл. Золото и платина, 1915.

Пеин Н.С. Отчет о геологических исследованиях и изучении условий образования золоторудных месторождений в Северной Енисейской тайге. Изв. Сиб. Отд. Геол. Ком., т. I, вып. 6, Томск, 1919.

Ячевский Л.А. Северо-Енисейский горный округ. Горный журнал № I, т. II, кн. 6, 1894.

Ячевский Л.А. Бассейны рек Тей и Енашимо. Геол. исслед. в золотоносн. обл. Сибири. Енисейский золотоносный район, вып. I, 1900.

Ячевский Л.А. Условия золотоносности Северного Енисейского горного округа. Геол. исслед. в золотоносн. обл. Сибири. Енисейский золотоносный район, вып. IV, 1903.

Фондовая<sup>+</sup>)

Авроченков А.И., Гуликова Т.С. Отчет о результатах поисково-разведочных работ, проведенных Каламинской партией на золоторудном месторождении "Эльдорадо" в 1961-1962гг. 1963.

Бернштейн П.С. Основные черты структуры золоторудных месторождений Северо-Енисейского района (Годовой отчет по теме № 245 "Геологическая структура рудных месторождений Енисейского кряжа" 1948.

Бернштейн П.С., Петровская Н.В. Геологоперспективная оценка месторождения Советского в Северо-Енисейской тайге. 1950.

Вызу А.И., Вызу М.Н., Борзенко Г.Ф. Геологическое строение бассейна р. Иошимо (Отчет о геологосъемочных работах масштаба 1:200 000 Иошиминской партии за 1962г. 1963.

Вызу А.И., Вызу М.Н., Кикило А.И. Отчет о геологосъемочных работах масштаба 1:200 000 в бассейнах рек Иошимо, Корды в верховьях р. Вангаша Иошиминской партии за 1963г. (Материалы к государственной геологической карте). 1964.

+ ) Работы, для которых не указано место хранения, находятся в геологическом фонде Красноярского территориального геологического управления.

Гаврилов Н.Ф. Предварительный отчет о поисково-разведочных работах, проводимых в 1949г. в районе водоразделов рек Огне-Поттеревки и кл. Агриппининского Северо-Енисейской тайги. Фонды СЕПУ, Северо-Енисейск, 1950.

Герасимова Н.Я., Семченко А.А. Геологическое строение бассейнов рек Вангаш и Еруда (Отчет Верхне-Удерейской партии за 1953г.). 1954.

Горностаев Н.Н. Золоторудное месторождение Советского рудника. 1934.

Дембо Т.М. Геолого-петрографический очерк Северо-Енисейского золото-мышьякового района. (Окончательный отчет по работам 1936-1938гг.). 1938.

Дембо Т.М., Ключанский Г.Г. Отчет о работе Северо-Енисейской партии Нигризолото за 1938-1939гг. Фонды СЕПУ, Северо-Енисейск, 1939.

Дембо Т.М. Геологическое описание Енашиминского золотоносного района в Северо-Енисейской тайге (Отчет по теме № 122). Фонды НИИГРИЗОЛОТО, 1941.

Дубинин Н.Г., Шахова И.В. Объяснительная записка к картам золотоносности по территории Енисейского кряжа и северо-западных отрогов Восточных Саян в масштабе 1:500 000. 1958.

Игнатьев Г.Г., Зубов Г.С. Отчет об аэромагнитной съемке в пределах северной оконечности Енисейского кряжа (партия № 9). 1950.

Каспарова Е.А., Майзелис С.Р. Отчет о результатах работ Енисейской аэромагнитной экспедиции в центральной части Красноярского края за 1957г. 1958.

Кристин В.Н., Хисамутдинов А.Б. Геологическая карта СССР масштаб 1:200 000, серия Енисейская, лист Р-46-ХХХ. Объяснительная записка. Рукопись, подготовленная к печати. 1964.

Курилин А.Я., Хорунов С.Д. Геологическое строение среднего течения р. Тей в приусадебной части р. Енашимо. Енисейский кряж. Окончательный отчет о работе Тейской геологосъемочной партии за 1959-1962гг. 1963.

Лапин С.С., Ключанский Г.Г., Лапина Л.Я. Исследования бассейна нижн. течения р. Енашимо и поиски россыпей золота (Окончательный отчет о работах 1939г.). Фонды СЕПУ, Северо-Енисейск, 1940.

Лапин С.С. Геолого-геоморфологические исследования бассейна верхнего течения р. Еншими. Тема 109, 1941.

Лейбович М.И. Геологическое строение междуречья верхних течений рек Еншими-Вангаш (Отчет по работам Викторовской поисково-съемочной партии за 1955г.). 1956.

Массов Г.М., Качалов А.К., Кириллов С.И., Земсков В.Г., Журавлев Р.С. Результаты комплексных аэрапоисковых работ в Красноярском крае (Отчет партии № 821 за 1959г.). 1960.

Массов Г.М., Кириллов С.И., Качалов А.К., Мартючев Г.А. Результаты комплексных аэрапоисковых работ в Красноярском крае (Отчет партии № 821 за 1960г.). 1961.

Миловская В.А., Ильинок С.С., Баженов Н.И. Геологический отчет о работах Северо-Енисейской партии за 1948г. 1949.

Милосердова Р.И., Шенкман Я.Д. Геологическая и геоморфологическая карты северо-восточной оконечности Енисейского кряжа и прилегающей части Сибирского плато (Отчет полевой геологической партии № 15/19). 1951.

Молчанов И.А. Енисейский золотоносный район. Опыт горно-экономической характеристики. 1932.

Неволин В.А., Богданович В.А. Отчет о работах поисковой партии Северо-Енисейской геологоразведочной экспедиции треста "Енисейзолото" за 1957г. 1958.

Николаев И.Г. Маршрутные исследов. в бассейне правых притоков р. Енисея к северу от р. Гаревки. 1929.

Ольшанский Ю.В., Лещинская Л.Е., Решетова Г.Т. Геологическое строение междуречья Еншими-Немунь (Отчет о работах Викторовской геологосъемочной партии за 1959г.). 1960.

Ольшанский Ю.В., Янбаева М.З., Петров В.Г. Геологическое строение междуречья Еншими-Вангаш-Немунь (Отчет о работах Викторовской поисково-съемочной партии за 1959-1961гг.). 1962.

Ольшанский Ю.В., Петров В.Г., Янбаева М.З. Отчет о работах Вангашской геологосъемочной партии за 1962г. 1963.

Пени Н.С., Калесов А. Геология золоторудных месторождений, 1919.

Пени Н.С. Геология золоторудных месторождений Северо-Енисейского горного округа и характеристика рудных месторождений. Рукопись. Фонды СЕПУ, Северо-Енисейск, 1920.

Петровская Н.В. Минералогия золоторудных месторождений Северо-Енисейского района (Годовой отчет по теме № 246 "Минералогия рудных месторождений Енисейского кряжа"). 1948.

Романов Г.П., Лещинская Л.Е., Пешин А.А. Отчет о работах Александро-Агеевской поисково-разведочной партии за 1961г. 1962.

Рухин Ю.К., Шахворостова К.А., Сыропятов Б.А. Отчет Вельминской разведочно-промышленной экспедиции треста "Золоторазведка" за 1941-1943гг. 1944.

Сверкунова А.Д., Пешин А.А. Григорьевскоерудопоявление серебра. (Окончательный отчет о работах Григорьевской поисково-разведочной партии за 1961-1962гг.). 1962.

Степанов В.Л. Геологическое строение междуречья Тая-Еншими. 1930.

Файзуллин С.Г. Полевой отчет за 1937г. о выполнении поисковой части темы II2 "Поиски и изучение коренных источников кассiterита и золота и их россыпей в бассейне верхнего течения р. Еншими". 1937.

Харувимова Е.Г. Предварительный отчет о работах Эвенкийской аэрогеологической экспедиции в 1951г. 1952.

Хисамутдинов А.Б., Кристин В.Н. Отчет о работах Уволжской ГСП за 1961г. по геологической съемке масштаба 1:200 000 листа Р-46-XXXIII. 1962.

Чепик А.Ф., Герхен Т.В., Пономарев В.М. Отчет о результатах высокоточной аэрогеофизической съемки масштаба 1:25 000 в Заангарской части Енисейского кряжа за 1962г. 1963.

Чураков А.Н. О необходимости поисков оловянных руд в Енисейском кряже. 1926.

Щупак Л.М. Отчет о работах Иркутской аэромагнитной партии № 13/56, выполненных на территории Красноярского края в 1956г. 1957.

Приложение Д

СПИСОК МАТЕРИАЛОВ, ИСПОЛЬЗОВАННЫХ ДЛЯ СОСТАВЛЕНИЯ КАРТЫ  
ПОЛЕЗНЫХ ИСКОПАЕМЫХ

№ п/п	Фамилия и ини- циалы авторов	Название работы	Год соз- тавления	Место- нахож- дение материа- лов	1	2	3	4	5
					1	2	3	4	5
1.	Аверченко А.И. Гулимова Т.С.	Отчет результатов поисково-разведочных работ, проведенных Каламинской партией на золоторудном месторождении "Эльдорадо" в 1961-1962гг.	1963	Фонды КГГУ					
2.	Бернштейн П.С.	Основные черты структуры золоторудных месторождений Северо-Енисейского района (Годовой отчет по теме № 245 "Геологическая структура рудных месторождений Енисейского кряжа").	1948	То же					
3.	Бернштейн П.С. Петровская Н.В.	Геолого-перспективная оценка месторождения Советского в Северо-Енисейской тайге	1950	"					
4.	Внуковский В.М.	Отчет по статистико-экономическому и техническому исследованию золотопромышленности северной части Енисейского округа СЛБ 1905г.	1906	"					
5.	Вызы А.И., Смирнов А.К.	Дополнение к отчету Иочиминской геологосъемочной партии (по результатам работ 1964г.).	1965	"					
6.	Горностаев Н.Н.	Золоторудное месторождение Советского рудника	1934	"					

I	2	3	4	5
7	Дембо Т.М.	Геолого-петрографический очерк Северо-Енисейского золотомышьякового района (Окончательный отчет по работам 1936-1938гг.)	1938	Фонды КГГУ
8	Дембо Т.М., Ключанский Г.Г.	Отчет о работе Северо-Енисейской партии Нигризолота за 1938-1939гг.	1939	"
9	Дембо Т.М.	Геологическое описание Енашиминского золотоносного района в Северо-Енисейской тайге (Отчет по теме № 102)	1941	"
10	Дубинин Н.Г., Шахова И.В.	Отчет центральной тематической партии по составлению карт золотоносности, 1958г.	1958	"
II	Кириченко Г.И.	Объяснительная записка к карте полезных ископаемых Енисейского кряжа масштаба 1:500 000. Гостехиздат	1959	"
12	Ключанский Г.Г.	Молодые кварцевые жили в Северо-Енисейской тайге. Сб. мат. по геологии золота и платины. Изд. ОБТИ, вып. 5	1947	"
13	Лейбович М.И.	Геологическое строение междуречья верхних течений рек Енашимо-Вангаш (Отчет по работам Викторовской поисково-съемочной партии за 1955г.)	1956	"
14	Миловская В.А., Ильинок С.С., Баженов Н.И.	Геологический отчет о работах Северо-Енисейской партии за 1948г.	1949	"

1	2	3	4	5
15	Молчанов И.А.	Енисейский золотоносный район. Опыт горно-экономической характеристики	1932	Фонды АГРЭ
16	Окунев Ю.В., Круглов Г.И.	Отчет по теме "Перспективная оценка золотоносных россыпей края и ранее разведавшихся и эксплуатировавшихся золоторудных месторождений за 1962-1963гг."	1963	Фонды КГГУ
17	Ольшанский Ю.В. Лещинская Л.Е.	Геологическое строение междуречья Енашимо-Немунь (Отчет о работах Викторовской геолого-съемочной партии за 1959г.)	1960	То же
18	Ольшанский Ю.В. Решетова Г.Т.	Геологическое строение междуречья Енашимо-Йочимо (Промежуточный отчет о работах Викторовской ГСП за 1960г.)	1961	"
19	Ольшанский Ю.В. Янбаева М.З., Петров В.Г.	Геологическое строение междуречья Енашимо-Вангаш-Немунь (Отчет о работах Викторовской поисково-съемочной партии за 1959-1961гг.)	1962	"
20	Ольшанский Ю.В. Янбаев М.З. Петров В.Г.	Отчет о работах Вангашской геолого-съемочной партии за 1962г.	1963	"
21	Пенн Н.С., Колесов А.	Геология золоторудных месторождений	1919	"
22	Пенн Н.С.	Отчет о геологических исследованиях и изучении условий образования золоторудных месторождений в Северо-Енисейской тайге	1926	"
23	Петровская Н.В.	Минералогия золоторудных месторождений Северо-Енисейского района. (Годовой отчет по теме № 246 "Мине-	1948	"

1	2	3	4	5
24	Романов Г.П., Лещинская Л.Е., Пешин А.А.	ралогия рудных месторождений Енисейского кряжа") Отчет о работах Александро-Агаевской поисково-разведочной партии за 1961г.	1962	Фонды КГГУ
25	Сверкунова А.Д. Пешин А.А.	Григорьевское рудопроявление серебра (Окончательный отчет о работах Григорьевской поисково-разведочной партии за 1961-1962гг.)	1962	То же
26	Синюгина Е.Я., Дибинчик А.И., Хахонина Н.В., Будилин Ю.С.	Полевой отчет Енисейской партии ЦНИГРИ о работах по теме №886 "Изучение закономерностей размещения золотых россыпей в Северо-Енисейской золотоносной провинции"	1963	"
27	Стажеев Н.В.	О новых типах месторождений района деятельности Северо-Енисейского приискового управления	1950	"
28	Файзуллин С.Г.	Полевой отчет за 1937г. о выполнении поисковой, части темы №II2 "Поиски и изучение коренных источников кассiterита и золота и их россыпей в бассейне верхнего течения р. Енашимо	1937	"
29	Чураков А.Н.	О необходимости поисков оловянных руд в Енисейском кряже..	1926	"
30	Ячевский Л.А.	Условия золотоносности Северо-Енисейского горного округа. Геол.иссл. в золотоносных обл. Сибири, вып.IV	1901	"

Приложение 2

СПИСОК ПРОМЫШЛЕННЫХ МЕСТОРОЖДЕНИЙ ПОЛЕЗНЫХ ИСКОПАЕМЫХ,  
ПОКАЗАННЫХ НА ЛИСТЕ Р-46-XXXI У КАРТЫ ПОЛЕЗНЫХ ИСКОПАЕМЫХ  
МАСШТАБА 1:200 000

№ по карте	Индекс клетки на карте	Наименование месторождения и тип полезного ископаемого	Состояние эксплуатации	Тип месторождения (К-ко-ренное, Р-рос-сыпное)	Использованного материала по списку (прил. I)
1	2	3	4	5	6
МЕТАЛЛИЧЕСКИЕ ИСКОПАЕМЫЕ					
Благородные металлы					
Золото					
30	III-I	Александро-Агеевское	Не эксплуатируется	K	2, 3, 6, 7, 8, 9, 12, 14, 16, 17, 18, 19, 21, 22, 23, 24, 27, 30.
46	IV-I	Первенец	Законсервировано	K	To же
42	IV-I	Пролетарское	To же	K	"
9	II-I	Советское	Эксплуатируется	K	"
56	IV-2	Эльдорадо	Разведывается	K	1, 2, 3, 6, 7, 8, 9, 12, 14, 16, 17, 18, 19, 20, 23, 27.
59	IV-2	Река Автолик, правый приток р. Вангаш	Не эксплуатируется	P	9, 10, 14, 15, 16, 17, 18, 19, 20.
21	III-I	Ручей Агриппининский, правый приток р. Дюбокш	To же	P	To же

1	2	3	4	5	6
63	IV-3	Ручей Безымянный, левый приток р. Вангаш	Не эксплуатируется	P	9, 10, 14, 15, 16, 17, 18, 19, 20.
10	II-I	Ручей Безымянка, правый приток р. Огни	To же	P	To же
52	IV-2, I	Ручей Безымянка, правый приток р. Севагликон	"	P	"
35	III-IV-I	Борисовский разрез	"	P	"
27	III-I	Ручей Буяновский, левый приток р. Дюбокш	"	P	"
53	IV-2, 3	Река Вангаш	Эксплуатируется	P	"
62	IV-3	Река Вангаш (Лидинский увал)	Не эксплуатируется	P	"
39	IV-I	Ручей Вершинка, левый приток р. Дыдан	Отработан	P	"
4	II-I	Ручей Григорьевский, левый приток р. Оллонокон	To же	P	"
6	II-I	Ручей Гороховый, левый приток р. Оллонокон	"	P	"
57	IV-I-2	Ручей Даниловский, левый приток р. Севагликон	"	P	"
38	III-IV-I	Река Дыдан	Эксплуатируется	P	"
24	III-I	Река Дюбокш (среднее и нижнее течение)	To же	P	"
47	IV-I	Река Енашимо (Верхне-Енашиминский дражный полигон)	"	P	"
37	IV-I	Ручей Ивановский, правый приток р. Коломы	Не эксплуатируется	P	"
1	I-I	Река Иочимо (нижнее течение)	To же	P	"

1	2	3	4	5	6
61	Ш-IУ- I-2	Река Колома	Эксплуати- руется	P	9,10, 14,15, 16,17, 18,19, 20.
2	I-I	Река Кото	Не эксплуа- тируется	P	То же
32	Ш-I	Левый увал (р. Дыдан)	То же	P	"
36	IУ-I	Левый увал (р. Коломы)	"	P	"
43	IУ-I	Ручей Магдалининский, правый приток р. Севаг- ликон	Отработана	P	"
51	IУ-I	Ручей Николаевский, пра- вый приток р. Коломы	То же	P	"
28	Ш-I	Ручей Никольский, пра- вый приток р. Дыдан	"	P	"
12	Ш-Ш-I	Река Огня	Эксплуати- руется	P	"
7	Ш-I	Река Олонокон	Не эксплуа- тируется	P	"
60	IУ-2	Ручей Ольгинский, пра- вый приток р. Автолик	Отработана	P	"
29	Ш-I	Прииск "Плато" (водо- раздел ручья Никольско- го и р. Дыдан)	То же	P	"
54	IУ-2, I	Река Севагликон, правый приток р. Коломы	Не эксплуа- тируется	P	"
45	IУ-I	Ручей Святодуховский, правый приток р. Севаг- ликона	Отработана	P	"
20	Ш-I	Ручей Успенский, пра- вый приток р. Дюбком	То же	P	"
31	Ш-I	Ручей Федоровский, пра- вый приток р. Дыдан	"	P	9,10, 14,15, 16.
25	Ш-I	Ручей Чубкош, левый при- ток р. Дюбком	"	P	9,10, 14,15, 16,17, 18,19, 20.

1	2	3	4	5	6
		СТРОИТЕЛЬНЫЕ МАТЕРИАЛЫ			
		Извещенные породы			
		Граниты			
34	IУ-I	Бассейн нижнего течения р. Коломы	Эксплуа- тируется	K	I6
		Карбонатные породы			
		Доломиты			
19	Ш-I	Водораздел ручья Успенс- кого и р. Дюбком	Эксплуати- руется	K	I6
		Обломочные породы			
		Песчаники			
23	Ш-I	Правый склон нижнего те- чения р. Чубкош	Эксплуати- руется	K	I6

## Приложение 3

СПИСОК НЕПРОМЫШЛЕННЫХ МЕСТОРОЖДЕНИЙ ПОЛЕЗНЫХ ИСКОПАЕМЫХ,  
ПОКАЗАННЫХ НА ЛИСТЕ Р-46-XXXIУ КАРТЫ ПОЛЕЗНЫХ ИСКОПАЕМЫХ  
МАСШТАБА 1:200 000

№ по кар- те	Индекс клетки на карте	Наименование месторождения и вид по-лезногого ископаемого	Состояние эксплуатации	Тип месторождения (к-ко-ренное Р-рос-сынное)	№ использо-ванного мате-риала по списку I		
						I	2
3	4	5	6				
МЕТАЛЛИЧЕСКИЕ ИСКОПАЕМЫЕ							
Благородные металлы							
Золото							
41	IY-I	"Вершинка"	Не эксплуатируется	K	2,3,7,8, 9,12,14, 16,17,18, 19,20,21, 27.		
58	IY-2	"Ольгинское"	To же	K	To же		
44	IY-I	"Ударное"	"	K	"		
50	IY-I	Ручей Бугарихта, левый приток р. Коломы	Отработана	P	9,10,14, 15,16.		
I3	II-I,2	Ручей Буяновка, левый приток р. Немунь	To же	P	To же		
22	III-I,2	Ручей Дулижмо, левый приток р. Немунь	"	P	"		
40	IY-I	Ручей Кузнецковский, правый приток р. Коломы	"	P	"		
49	IY-I	Река Мал. Гурахта	"	P	"		
I8	III-I,2	Ручей Потеряевка, левый приток р. Немунь	"	P	"		
II	II-I	Ручей Татьянинский, правый приток р. Огни	"	P	"		

1	2	3	4	5	6
		Редкие металлы			
		Редкие земли			
15	II-2	Река Иочимо, среднее течение - россыпь монацита	Не эксплуатируется	R	5
СТРОИТЕЛЬНЫЕ МАТЕРИАЛЫ					
		Обломочные породы			
		Песчаники кварцитовидные, кварциты			
64	IY-4	Водораздел рек Корды и Венгаша	Не эксплуатируется	K	5

## Приложение 4

СПИСОК ПРОЯВЛЕНИЙ ПОЛЕЗНЫХ ИСКОПАЕМЫХ,  
ПОКАЗАННЫХ НА ЛИСТЕ Р-46-XXXIУ КАРТЫ ПОЛЕЗНЫХ ИСКОПАЕМЫХ  
МАСШТАБА 1:200 000

№ по карте	Индекс клетки на карте	Название (месторождение) проявления и вид полезного иско- паемого	Характеристика проявления	№ исполь- зованного ма- териала по списку
1	2	3	4	5
МЕТАЛЛИЧЕСКИЕ ИСКОПАЕМЫЕ				
Ц в е т н ы е м е т а л л ы				
		Полиметаллические		
8	II-1	Григорьевское	Кварцевые жилы и метасоматические кварциты, содержащие минералы меди, свинца, серебра	25
I4	II-2	Ручья Ветвистого	Обломки кварца из долюния, содержащие минералы свинца, меди и серебра	5,17
3	I-I	Черемшансское	Кварцевая жила, содержащая галенит и др. минералы	5
Б л а г о р о д н ы е м е т а л л ы				
		Золото		
33	III-I	"Албанские жилы"	Золотоносные кварцевые жилы	7,8,9,13,14,17,22
26	III-I	"Буян"	То же	То же
I6	III-I	"Заявка I4"	"	"
I7	III-I	"Огне-Потериавское"	"	"

1	2	3	4	5
Р е д к и е м е т а л л ы				
Бериллий-литий				
48	IV-I	Енашиминское	Пегматитовые жилы с бериллием, лепидолитом, колумбит-танталитом, кассiterитом и др.	28,29
НЕМЕТАЛЛИЧЕСКИЕ ИСКОПАЕМЫЕ				
Х и м и ч е с к о е с ы р ь е				
5	II-I	Григорьевское	Кварцево-карбонатные жилы с аксиинитом	19,25
ДРАГОЦЕННЫЕ КАМНИ				
48	IV-I	Енашиминское	Пегматитовые жилы с бериллом и разноцветными турмалинами	28,29

## СОДЕРЖАНИЕ

	Стр.
Введение . . . . .	3
Стратиграфия . . . . .	5
Интузивные образования . . . . .	22
Тектоника . . . . .	27
Геоморфология . . . . .	33
Полезные ископаемые . . . . .	38
Подземные воды . . . . .	38
Литература . . . . .	57
Приложения . . . . .	62

987

В брошюре пронумеровано 75 стр.

Редактор И.А. Санжара  
Технический редактор Ц.С. Левитан

Сдано в печать 3/I 1973 г. Подписано к печати 1/III 1973 г.  
Тираж 150 экз. Формат 60x90/16 Печ. л. 4,75 Заказ 436сс

Копировально-картографическое предприятие  
Всесоюзного геологического фонда

